

Soluzioni per la protezione da caduta massi

Utilizzo delle reti nei rivestimenti e rafforzamenti corticali in roccia e negli interventi di soil nailing.

Barriere paramassi: caratteristiche costruttive, approccio progettuale, esperienze.

Date 11 Maggio 2021 Autore Stefano Cardinali



Tutti i diritti sono riservati. Qualsiasi riproduzione, anche parziale, è vietata senza previa autorizzazione scritta da parte di Officine Maccaferri Italia Srl.

Soluzioni e strategia di intervento



Interventi nella zona di distacco (interventi attivi)







Interventi nella zona di transito e/o di arresto (interventi passivi)

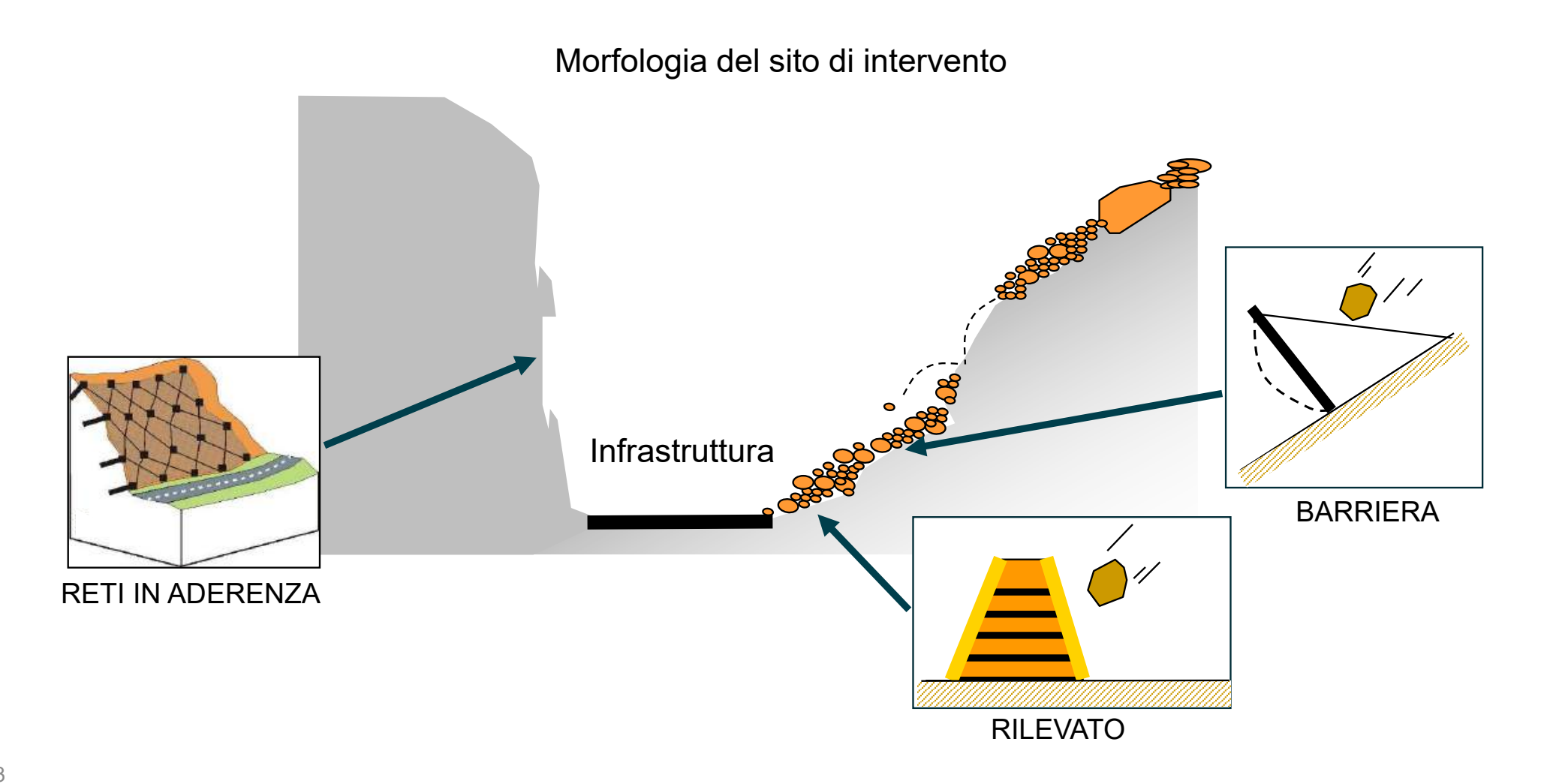






Soluzioni e strategia di intervento





Soluzioni e strategia di intervento



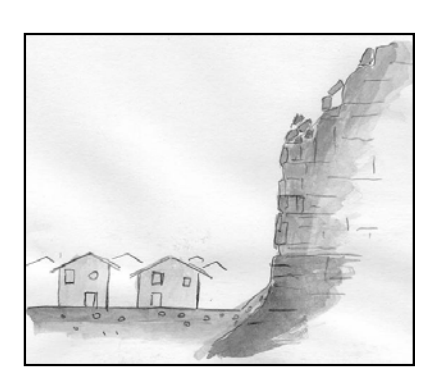
Altri fattori chiave nella scelta della migliore soluzione

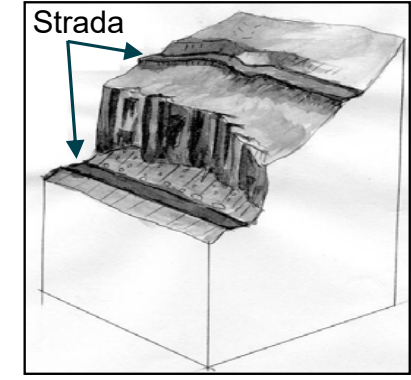
- Tipologia del dissesto e magnitudo dell'evento di progetto
- Tempi di esecuzione dei lavori
- Possibilità di effettuare disgaggi
- Sicurezza degli operatori
- Accessibilità

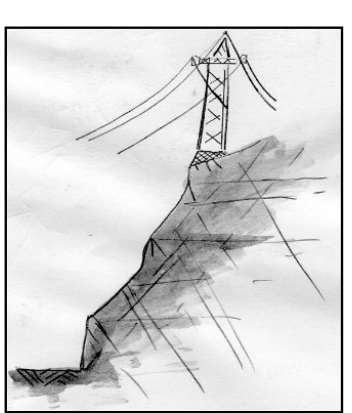
(strade di accesso, possibilità di impiego di elicottero, possibilità di taglio della vegetazione ecc.)



- Costi di manutenzione
- Frequenza dei fenomeni di instabilità







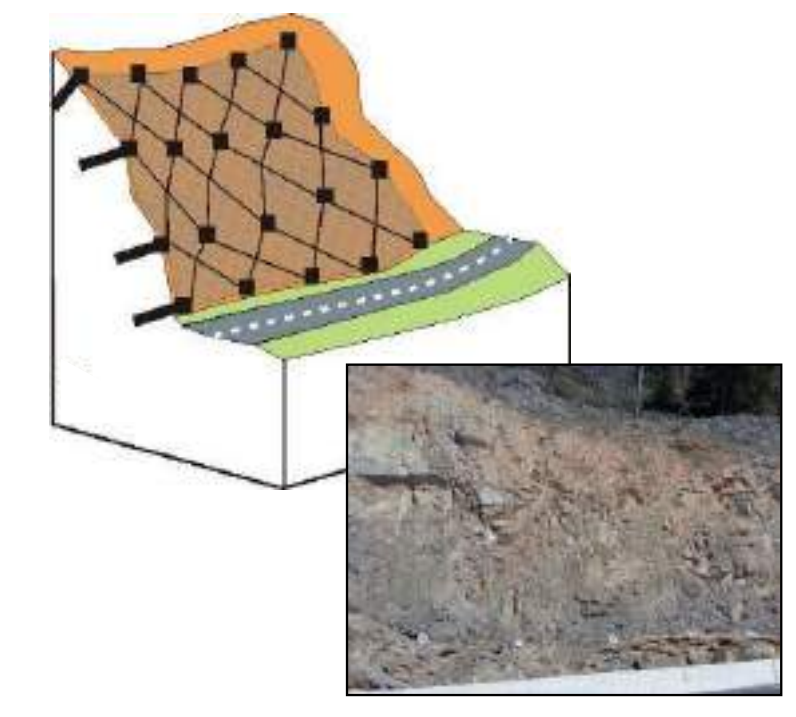


Interventi nell'area di distacco

Rivestimento semplice

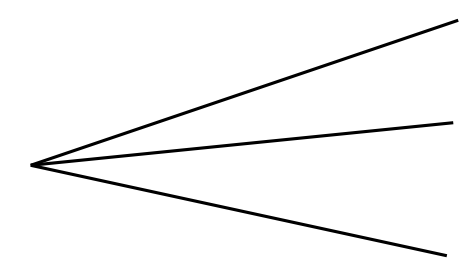


Rafforzamento corticale





Principali proprietà delle reti



Peso

Deformazione e resistenza della rete (resistenza a trazione)

Deformazione e resistenza perpendicolare al piano della rete (resistenza a punzonamento)

La **UNI 11437:2012** è una pietra miliare. Impone nuovi passi al progettista:

- Confronto sulla base di prove omogenee è possibile
- La deformabilità della rete non è trascurabile (la più alta resistenza è trascurabile se la deformabilità è troppo elevata)



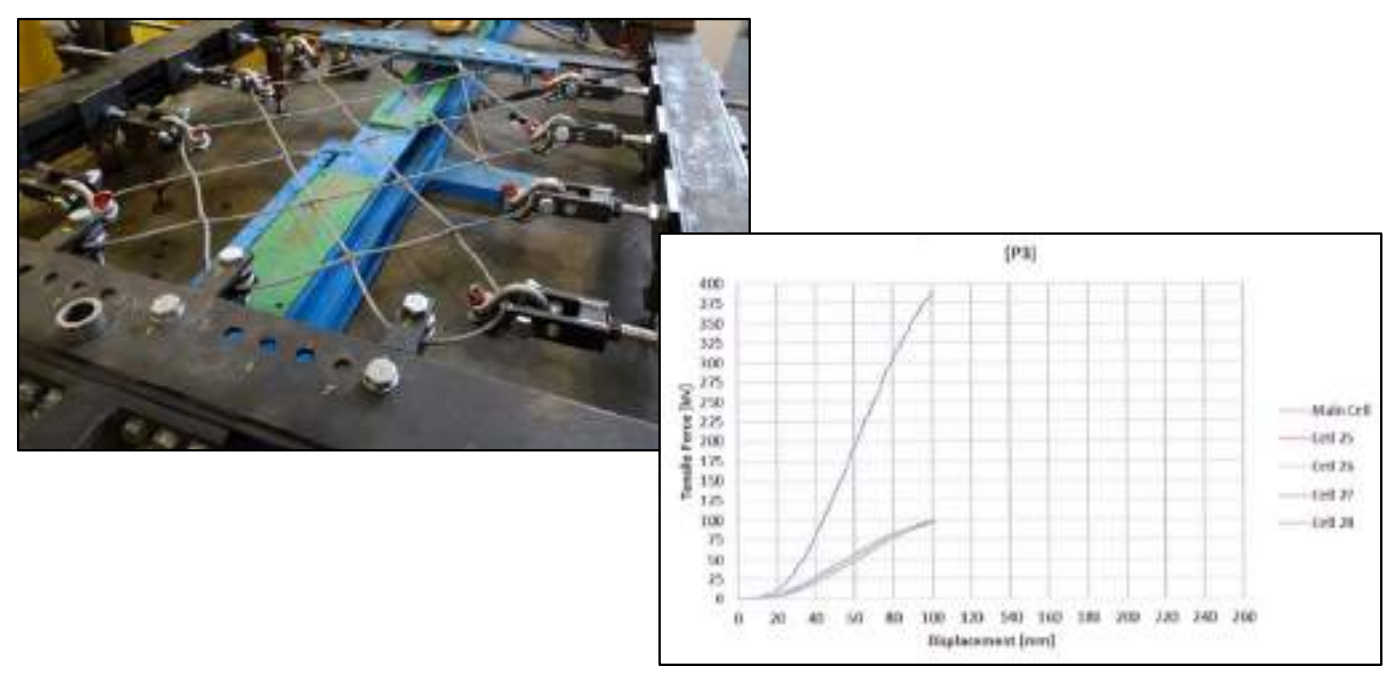




Caratterizzazione proprietà meccaniche delle reti metalliche UNI 11437:2012

Prova di trazione







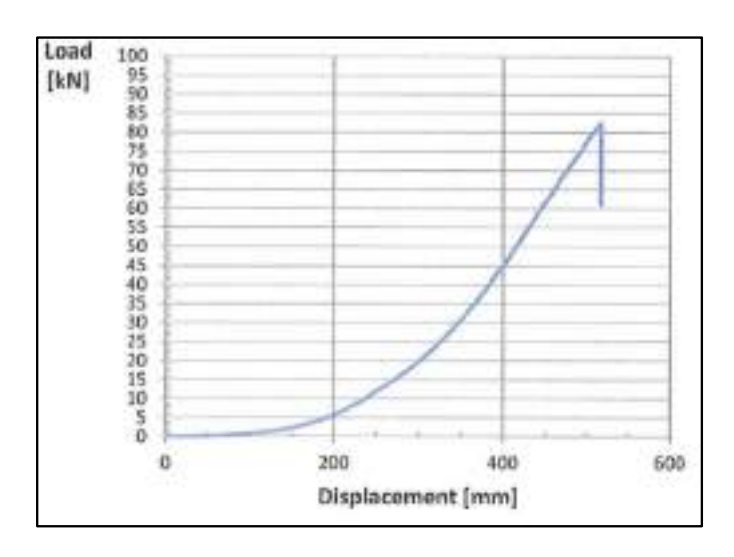


Caratterizzazione proprietà meccaniche delle reti metalliche UNI 11437:2012

Prova di punzonamento







La prova fornisce indicazioni sul comportamento delle reti nelle più frequenti situazioni e consente il giusto approccio al dimensonamento delle reti chiodate.



D.M. 17 Gennaio 2018 (NTC 2018)

Reti metalliche per il rivestimento e la protezione di pendii e/o versanti in roccia si configurano come **prodotti di tipo C) ai sensi dell'art. 11 delle NTC 2008**, e rientrano quindi tra quei prodotti e sistemi costruttivi per i quali non esiste una Norma Armonizzata, che descriva i requisiti e le procedure per l'ottenimento della marcatura CE e neppure sussiste una procedura di qualifica direttamente descritta all'interno delle NTC 2018.

CERTIFICAZIONE PER PRODOTTI TIPO C)

I prodotti ad uso strutturale devono essere corredati da:

 marcatura CE (Certificato di Costanza delle Prestazioni) - DOP, tramite procedura europea di ETA (Valutazione Tecnica Europea)

oppure in alternativa

 Certificato di Valutazione Tecnica (CVT) emesso dal Servizio Tecnico Centrale del Consiglio Superiore dei LL.PP. sulla base di specifiche Linee Guida



OBBLIGHI DEL PRODUTTORE

I produttori sono obbligati a qualificare i propri materiali ed esibire una Dichiarazione di prestazione (DOP) e il relativo Certificato CE, rilasciate sulla base di un ETA, oppure il Certificato di Idoneità Tecnica rilasciato dal Servizio Tecnico Centrale.

OBBLIGHI DELLA D.L.

E' onere del direttore dei lavori, in fase di accettazione in cantiere, la verifica della prescritta documentazione di qualificazione; in particolare non potranno essere impiegati nelle opere prodotti non corredati della documentazione relativa alla qualificazione dei materiali





Certificato di Costanza della Prestazione e DOP

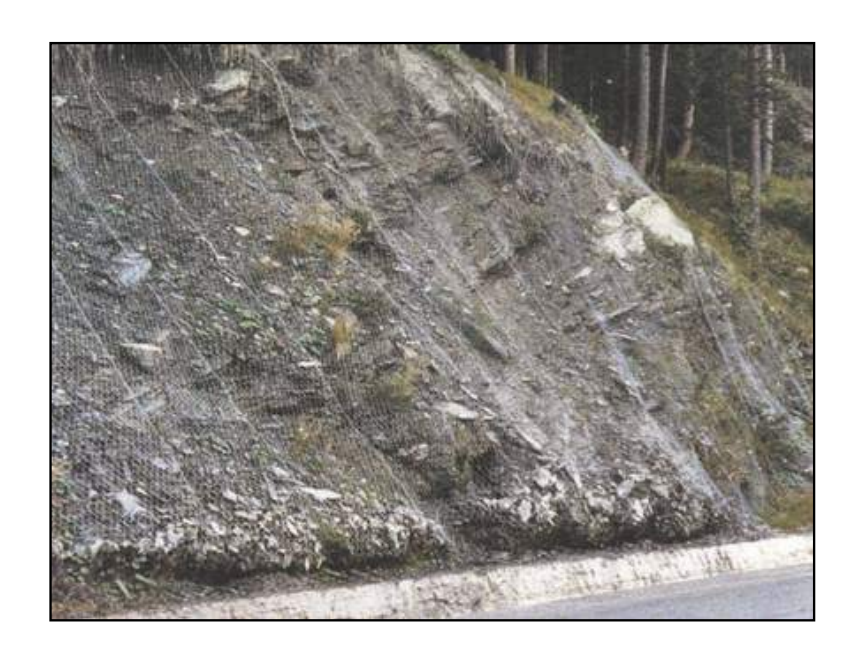






I <u>rivestimenti semplici</u> sono principalmente utilizzati per:

- stabilizzare e/o ridurre le velocità di caduta dei detriti e dei blocchi
- **limitare le traiettorie** dei blocchi in caduta in modo che non vadano a interferire con le infrastrutture
- trattenere i detriti al piede della scarpata





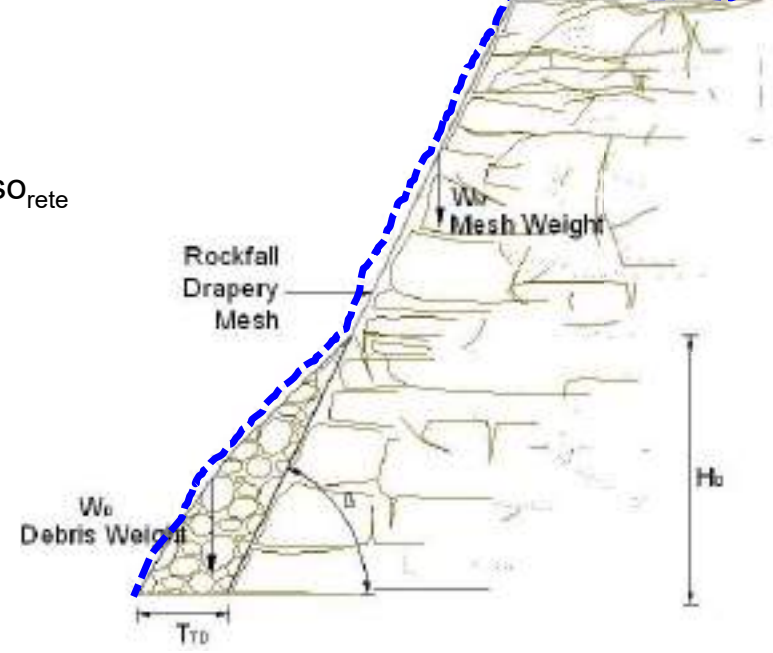


Progettazione dei rivestimenti semplici

Principio progettuale per la verifica della rete (1)

Verifica agli stati limite:

le forze resistenti devono essere ridotte, quelle destabilizzanti amplificate, mediante opportuni fattori/coefficienti di sicurezza

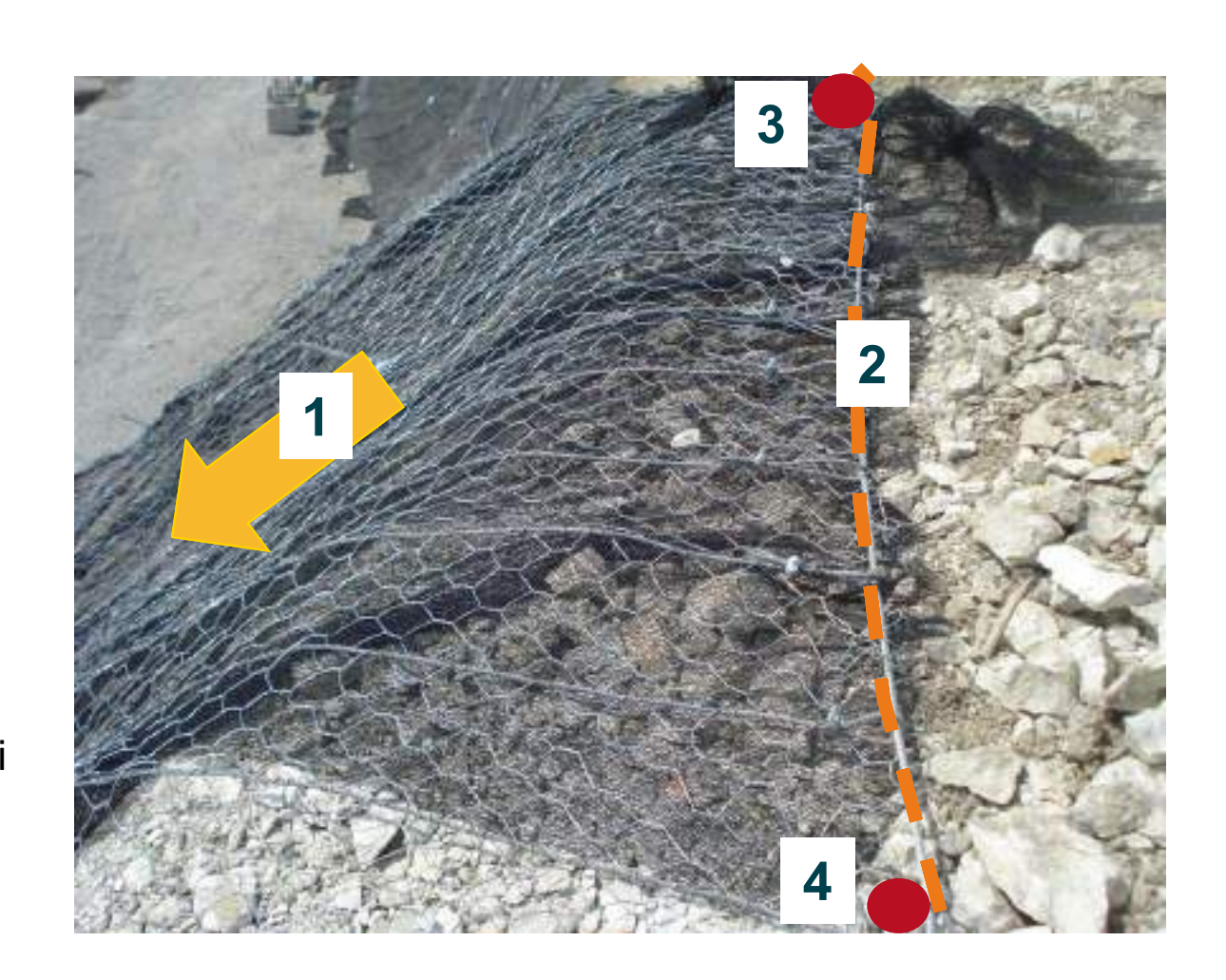


(1) Muhunthan B., Shu S., Sasiharan N., Hattamleh O.A., Badger T.C., Lowell S.M., Duffy J.D. (2005). "Analysis and design of wire mesh/cable net slope protection - Final Research Report WA-RD 612.1" Washington State Transportation Commission - Department of Transportation/U.S. Department of Transportation Federal Highway Administration.



Verifiche

- 1. Resistenza della rete
- 2. Resistenza della fune di support sommitale, caricata dalla rete
- 3. Resistenza degli ancoraggi intermedi
- 4. Resistenza degli ancoraggi laterali





Software per il dimensionamento di rivestimenti semplici

Macro 2



Conoscere il volume di detrito che può essere contenuto,

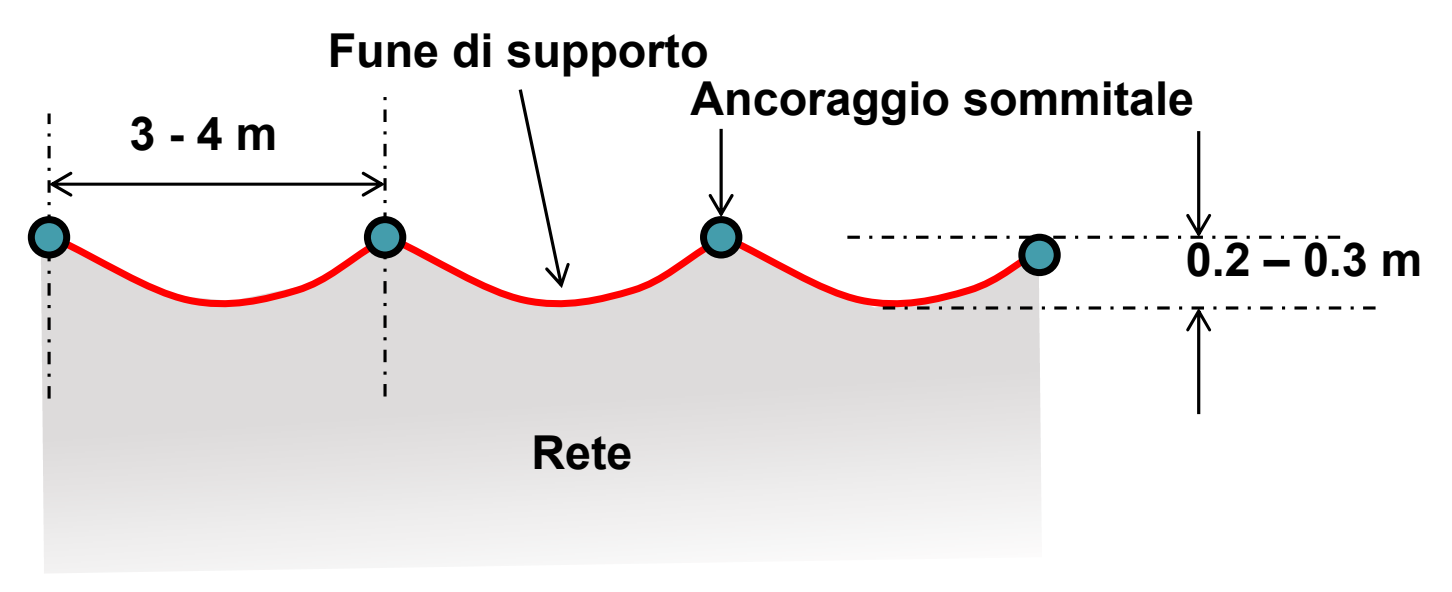
significa prevedere quando la rete raggiunge il carico limite

Oppure

prevedere i tempi per la manutenzione periodica



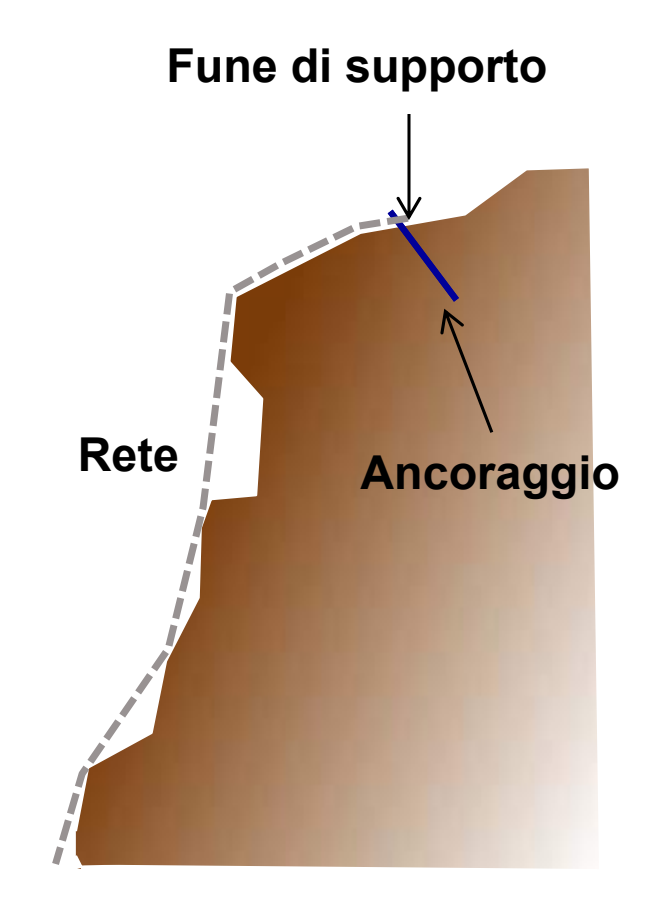
Geometria del sistema superiore di sostegno



Catenaria della fune superiore 0.2 – 0.3 m

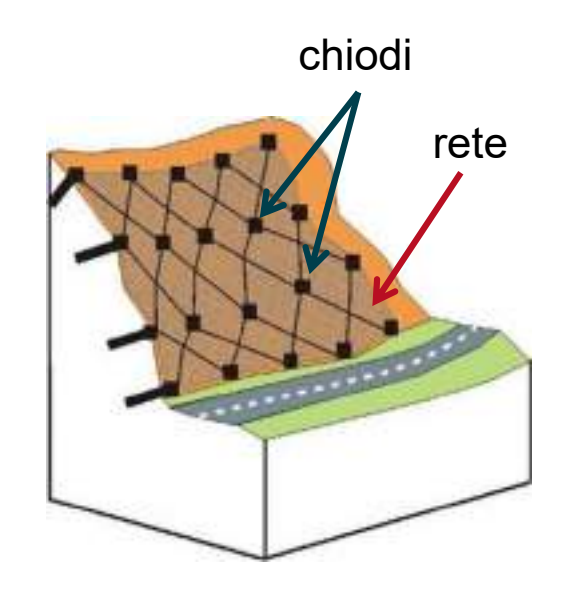
Diametro della fune superiore 12 – 16 mm (max 20 mm)

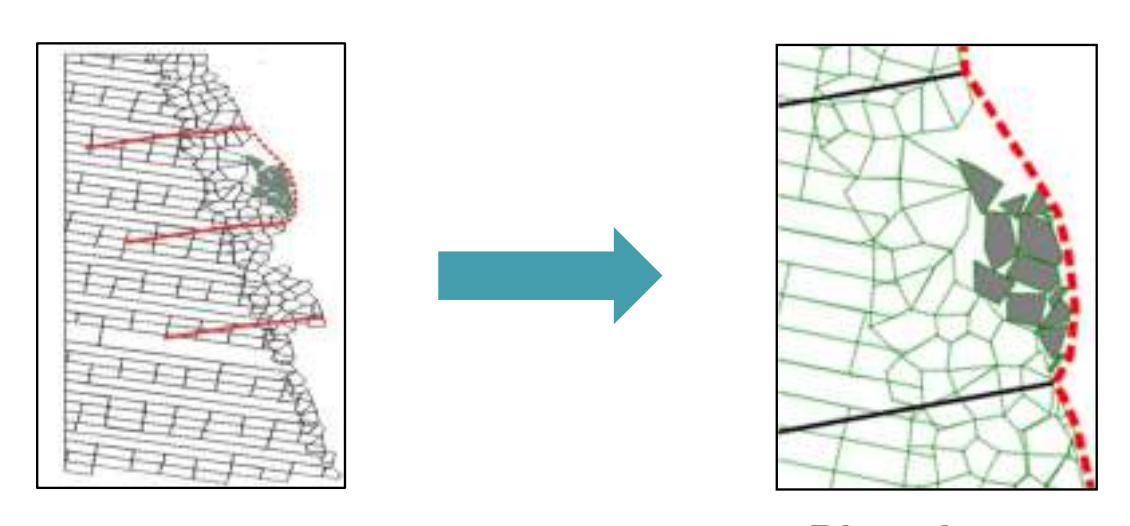
Spaziatura degli ancoraggi 3 - 4 m (2 – 6 m)





Rafforzamenti corticali





Ancoraggi
Migliorare la stabilità della coltre
superficiale alterata/fratturata

Rivestimento
Trattenere il detrito e/o i blocchi
tra gli ancoraggi



LA RETE E' <u>FLESSIBILE</u> E <u>DEFORMABILE</u>



La rete NON E' UNA TRAVE

Che permette di trasferire carichi al terreno

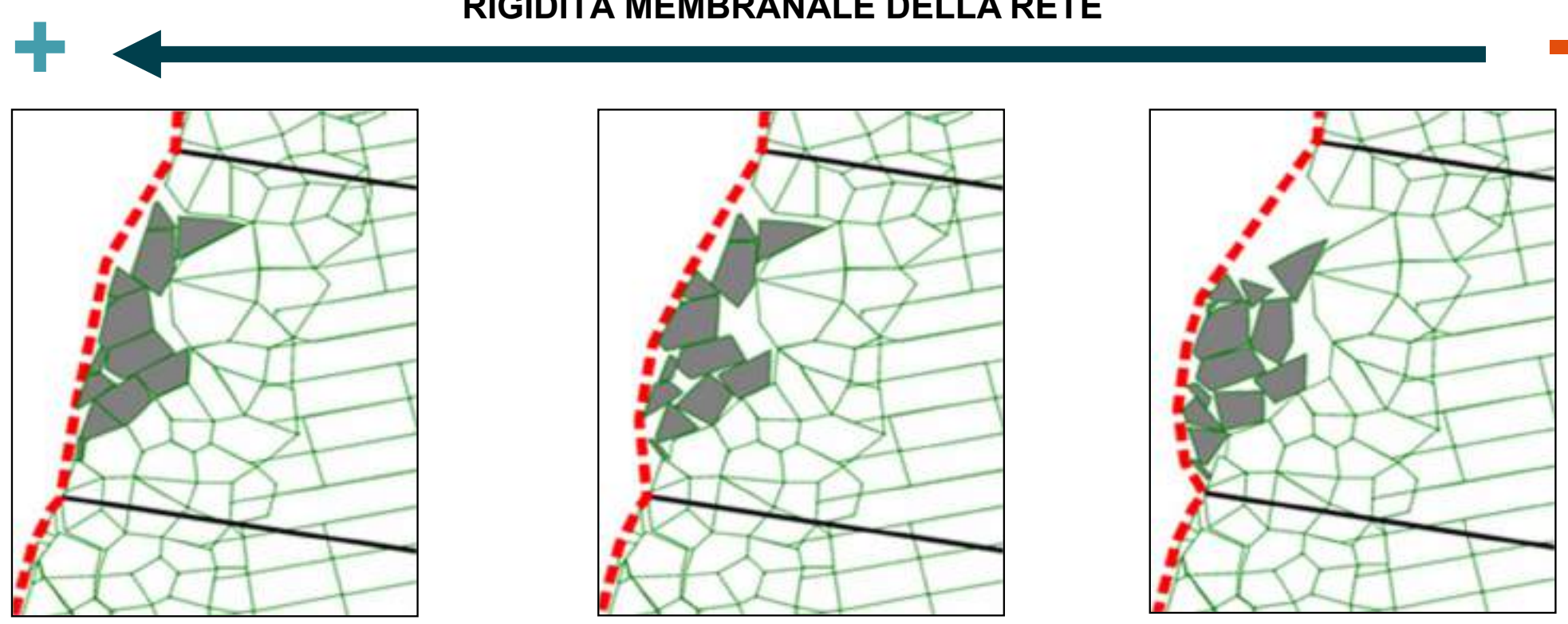


La rete SI DEFORMA quando soggetta al carico di detriti/blocchi

CIRIA 2005 - Soil nailing Best practice guidance: Flexible structural facing



RIGIDITÀ MEMBRANALE DELLA RETE



Rete troppo deformabile e flessibile = denudazione degli ancoraggi = minore stabilità



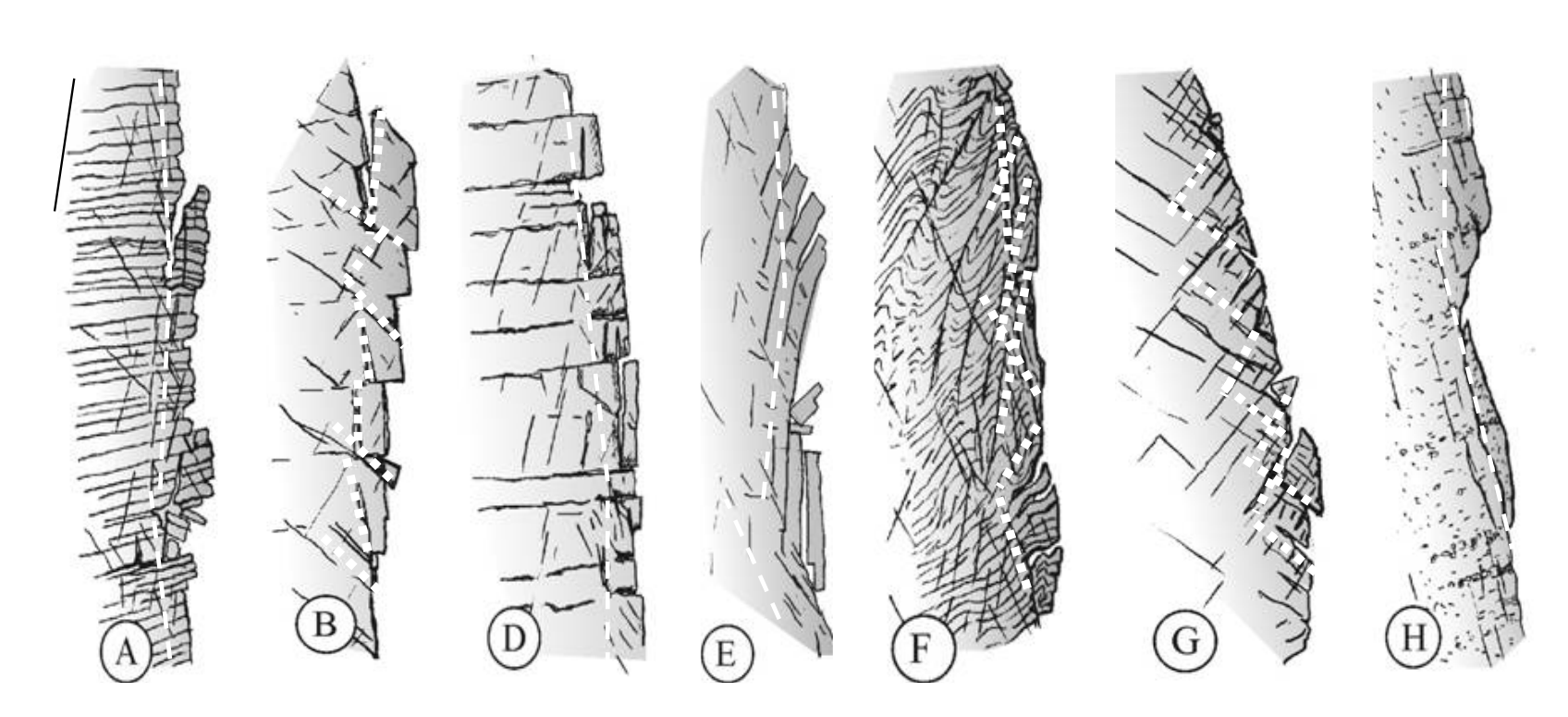








Bisogna definire lo spessore di roccia instabile caratterizzato da giunti di discontinuità che definiscono i blocchi instabili.







È fondamentale un rilevo geomeccanico dell'ammasso roccioso, al fine di definire le famiglie di giunti e le loro caratteristiche:

- Resistenza a compressione semplice (JCS)
- Rugosità (JCR)
- Inclinazione
- Ecc.





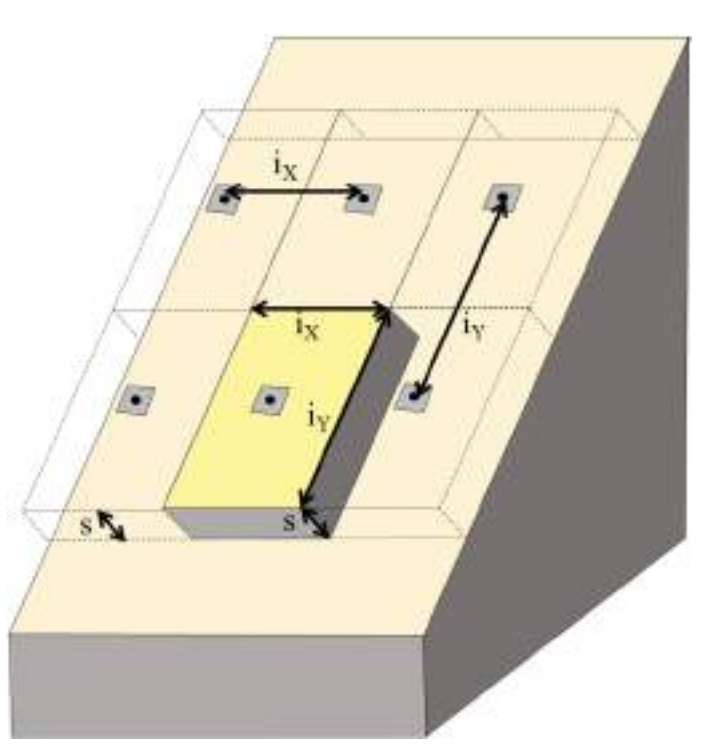




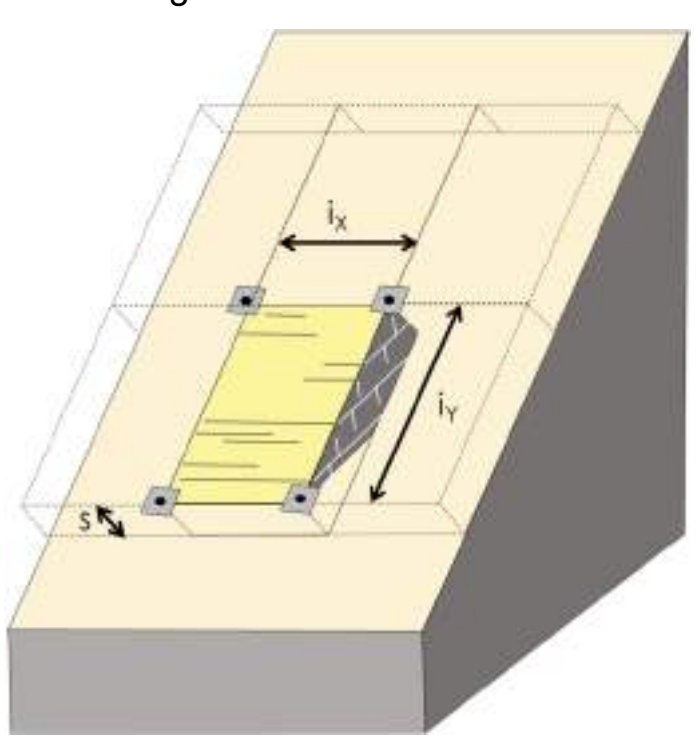
Modello di calcolo



Dimensionamento dei chiodi



Verifica della rete agli stati limite ultimo e di servizio

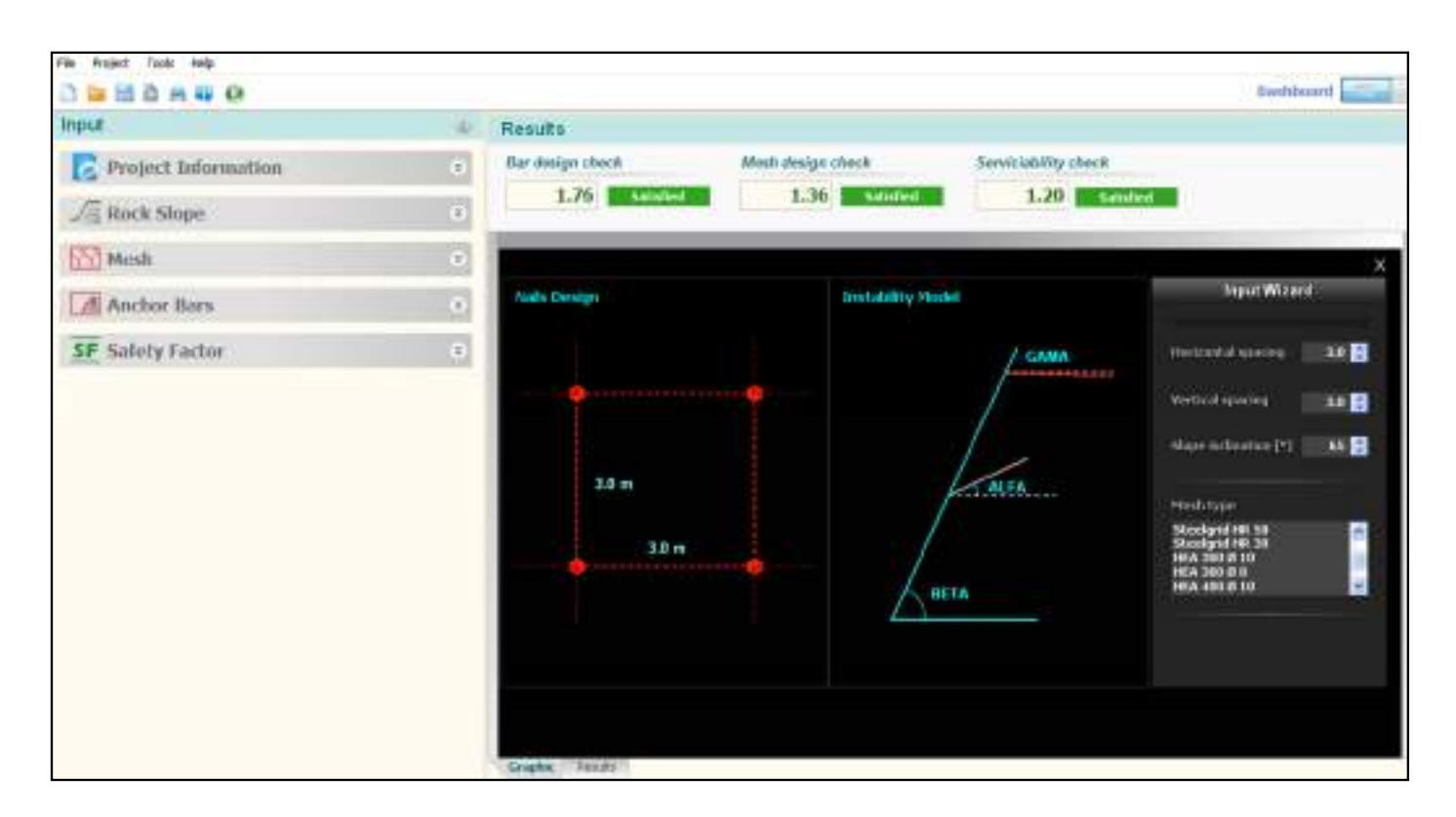






Software per il dimensionamento di rafforzamenti corticali

Macro 1

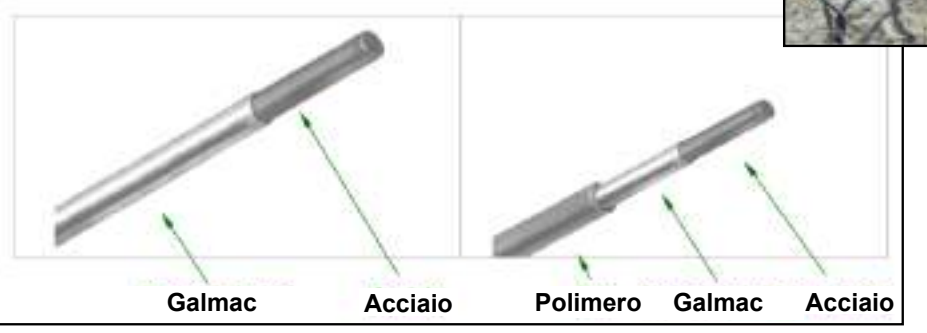




RETE A DOPPIA TORSIONE

Rete a Doppia Torsione a maglia esagonale tipo 8x10 rivestita in:

- Galmac (Zn+5%AI)
- Galmac + Polimero







- Caduta di piccoli blocchi (φ < 30 cm)
- Colate di detriti di piccola entità
- Erosione localizzata



Intervento tipologico di rafforzamento corticale

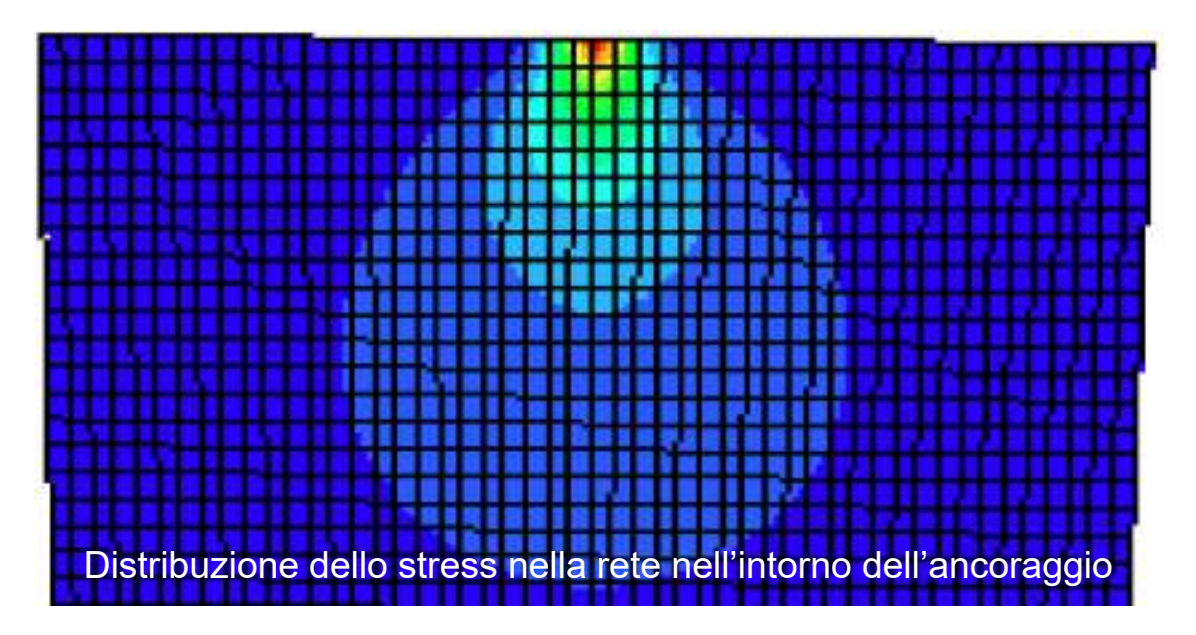








Reticolo in fune di acciaio



Il reticolo in fune determina i seguenti vantaggi:

- Riduce la deformazione della membrana.
- Riduce lo stress in corrispondenza della piastra

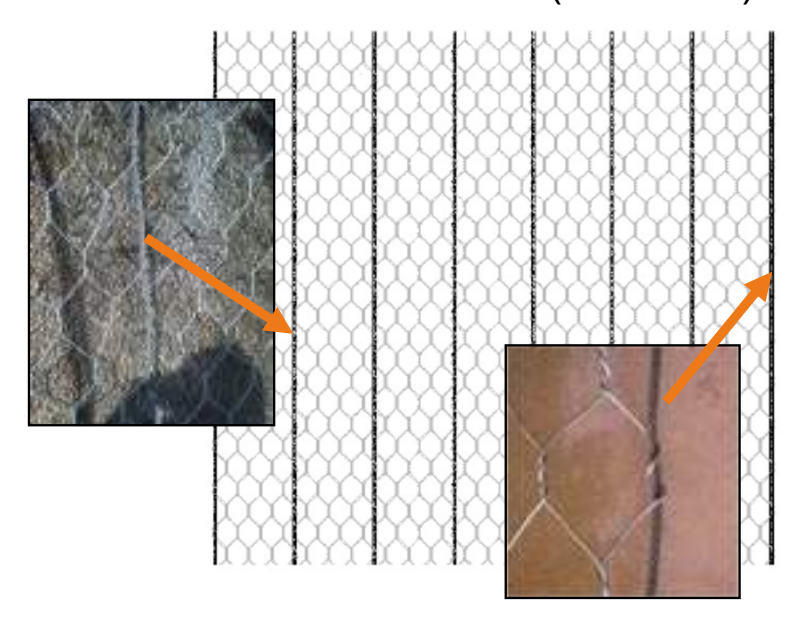
La fune coopera bene se intessuta nella rete





STEELGRID HR

Rete a Doppia Torsione a maglia esagonale tipo 8x10 con funi di acciaio intessute con interasse 30/50/100 cm rivestita con Galmac (Zn+5%Al)





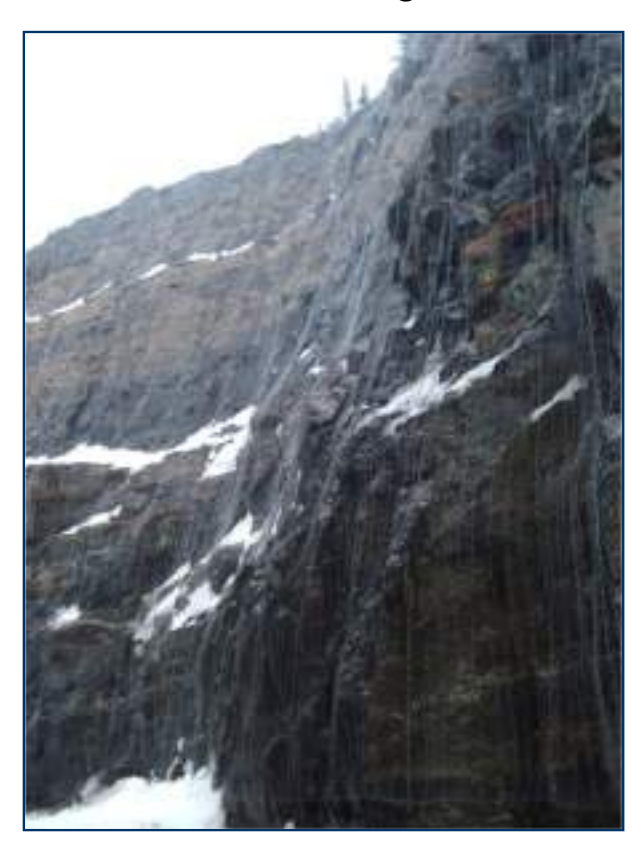


- Caduta di blocchi di dimensione significativa (vol. ≈ 1,0 m³)
- Rivestimenti semplici su pendi molto estesi
- Rafforzamenti corticali





Quebec, Canada Protezione di un generatore della centrale idroelettrica Dam Manic 2

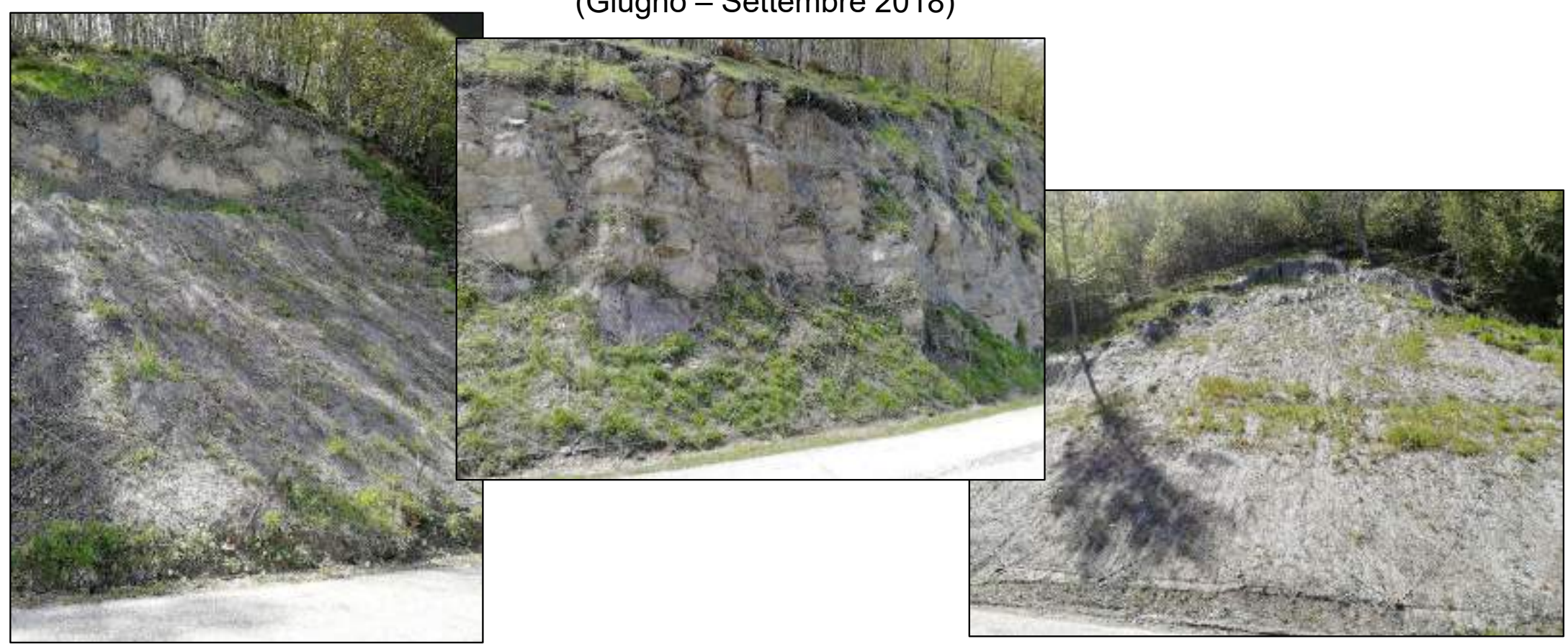






S.P. 89 Montegallo (AP)

(Giugno – Settembre 2018)

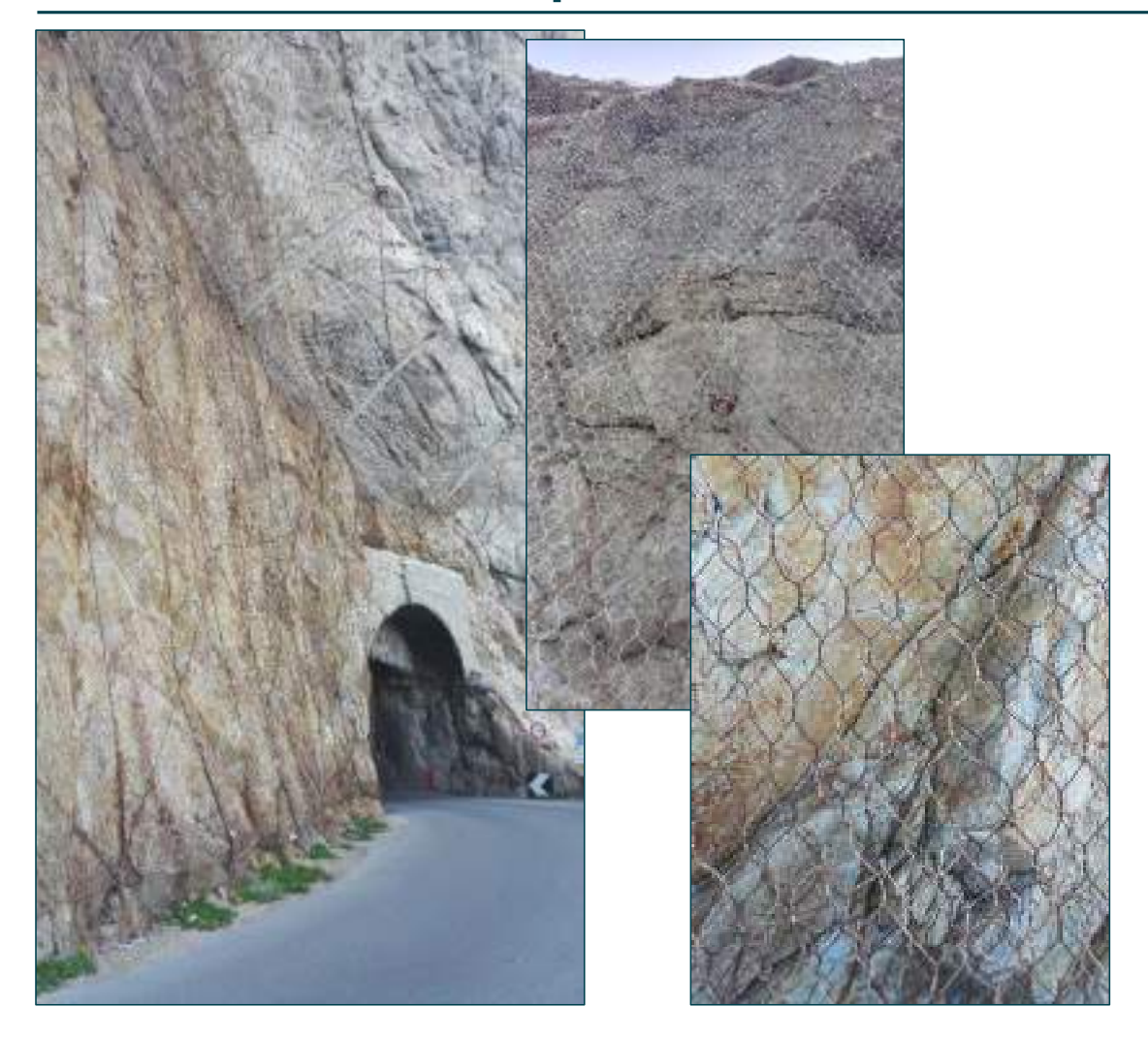


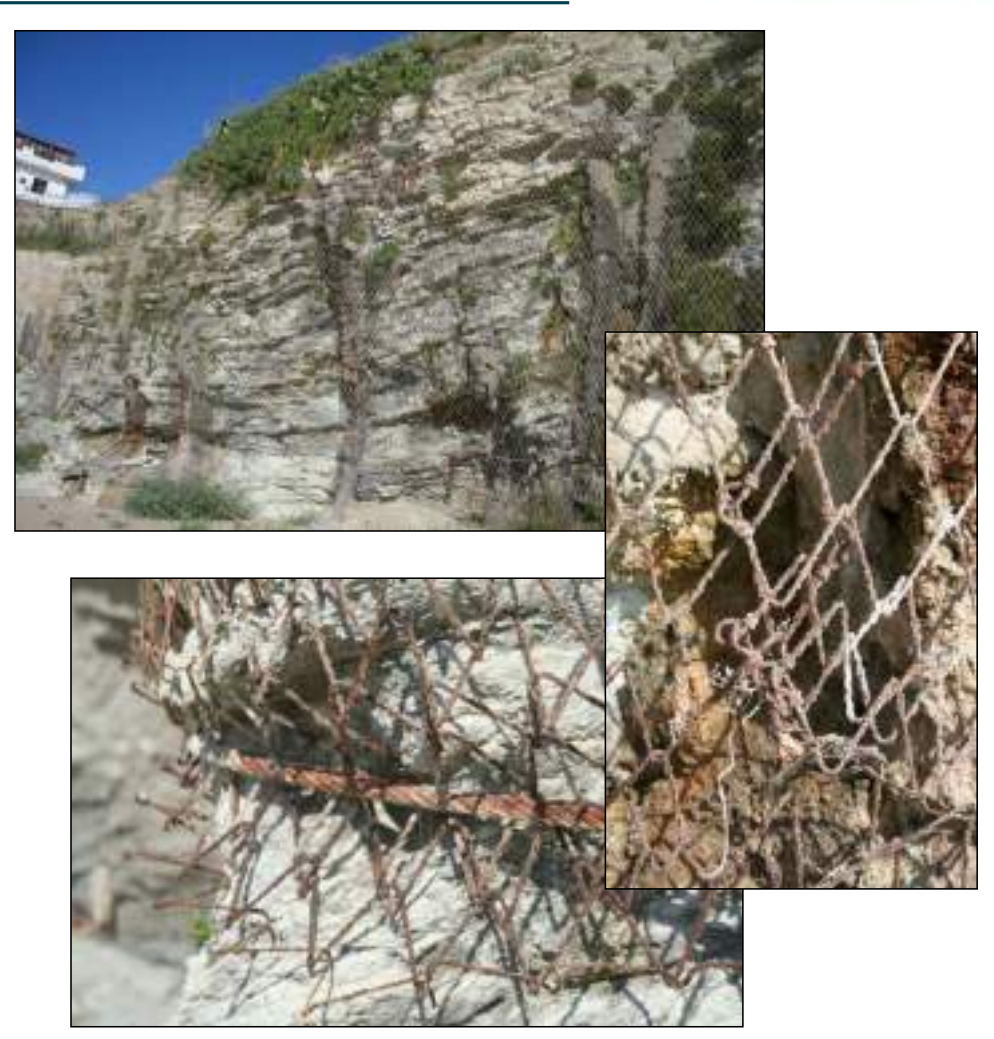


Frauenberg (Germania)











STEELGRID HR PVC

Rete a Doppia Torsione a maglia esagonale tipo 8x10 con funi di acciaio intessute con interasse 30/50/100 cm rivestita con Galmac (Zn+5%AI) e PVC





- Caduta di blocchi di dimensione significativa (vol. ≈ 1,0 m³)
- Rivestimenti semplici e rafforzamenti corticali in ambienti aggressivi



Cala Banyalbufar, Maiorca







PANNELLI SW/HEA

Rete in fune di acciaio diam. 8/10 mm con maglia 250x250, 300x300, 400x400 con speciale nodo di legatura











- Rafforzamenti corticali con ridotte deformazioni
- Rivestimento ed imbragaggio grossi blocchi instabili, speroni, pinnacoli ecc.



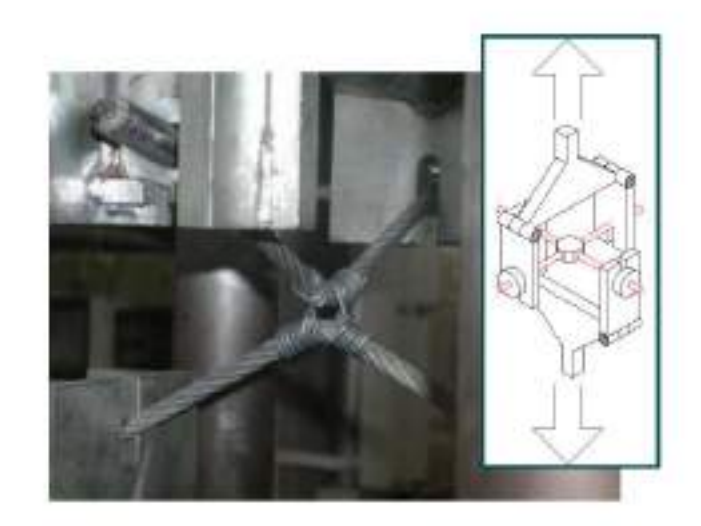
PANNELLI SW/HEA

Le prestazioni del pannello in fune sono strettamente legate anche al comportamento del nodo





Prova di strappo







7 kN ÷ 12 kN

Reti in aderenza su pendii in roccia

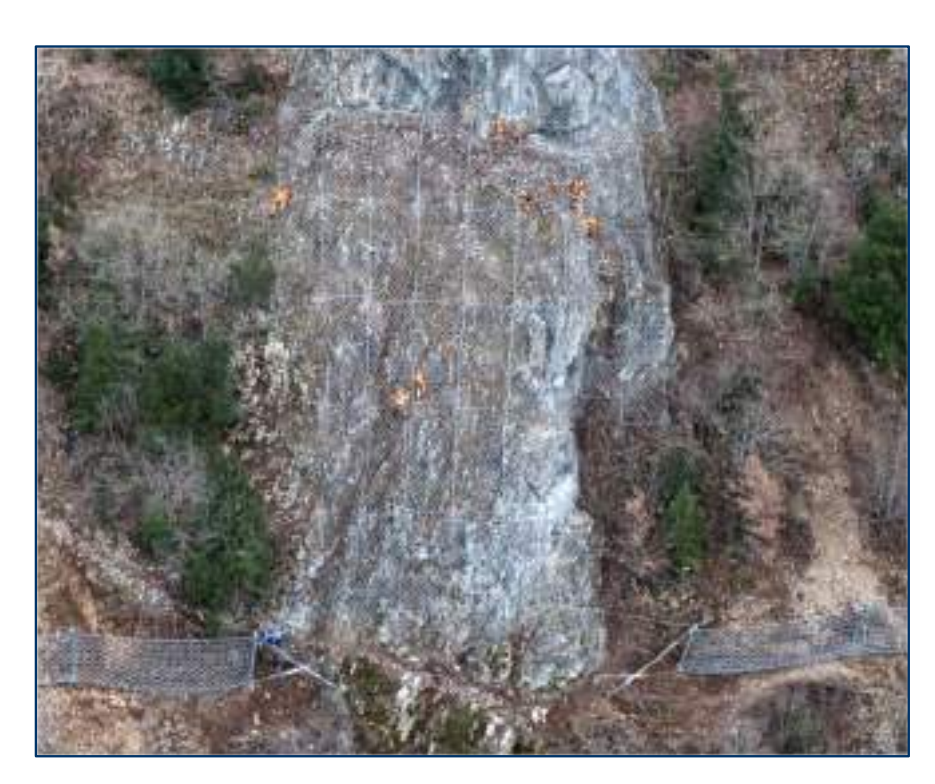








S.S. 685 "delle Tre Valli Umbre"







S.S. 685 "delle Tre Valli Umbre"







PANNELLI HEA INOX



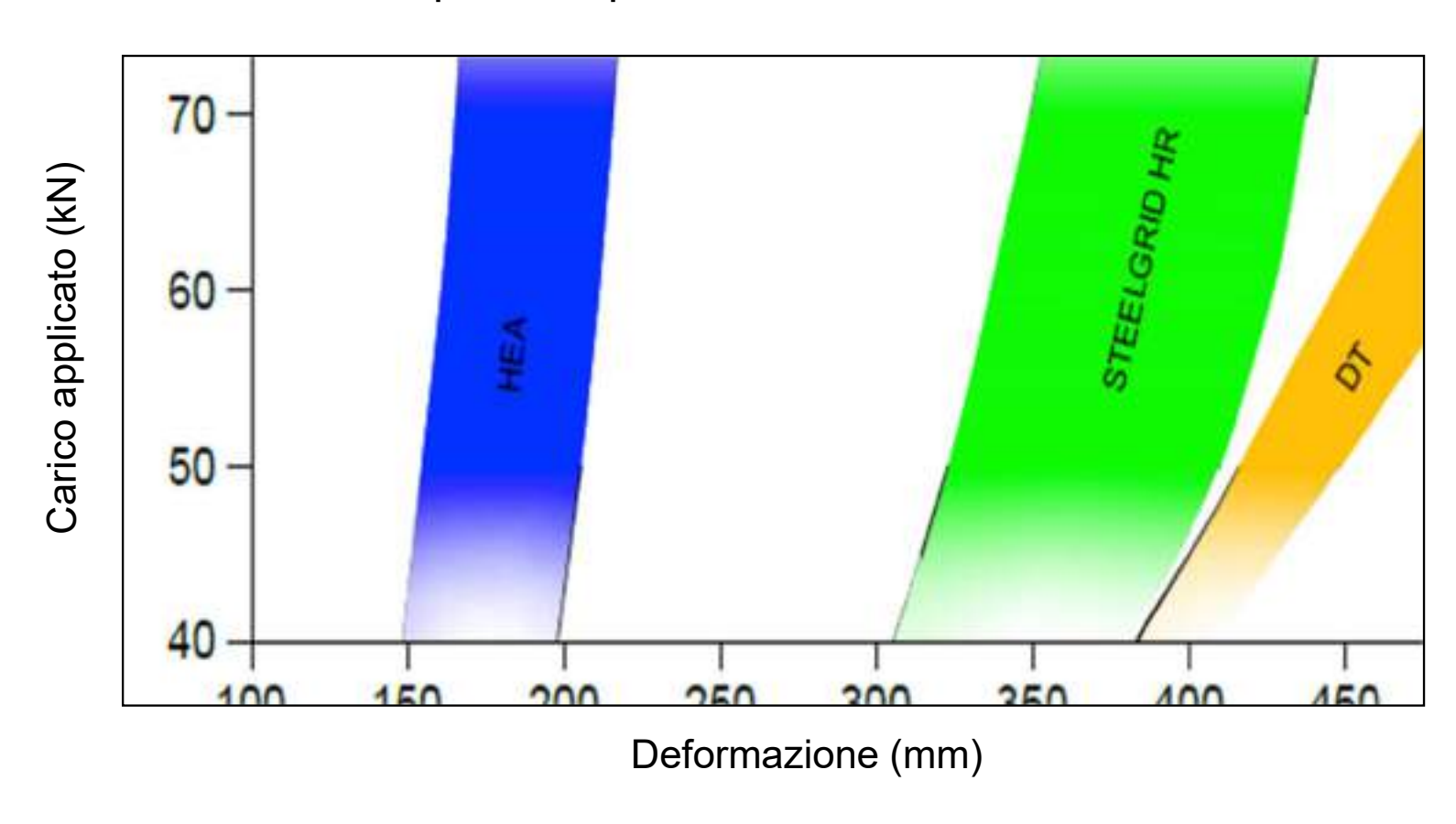






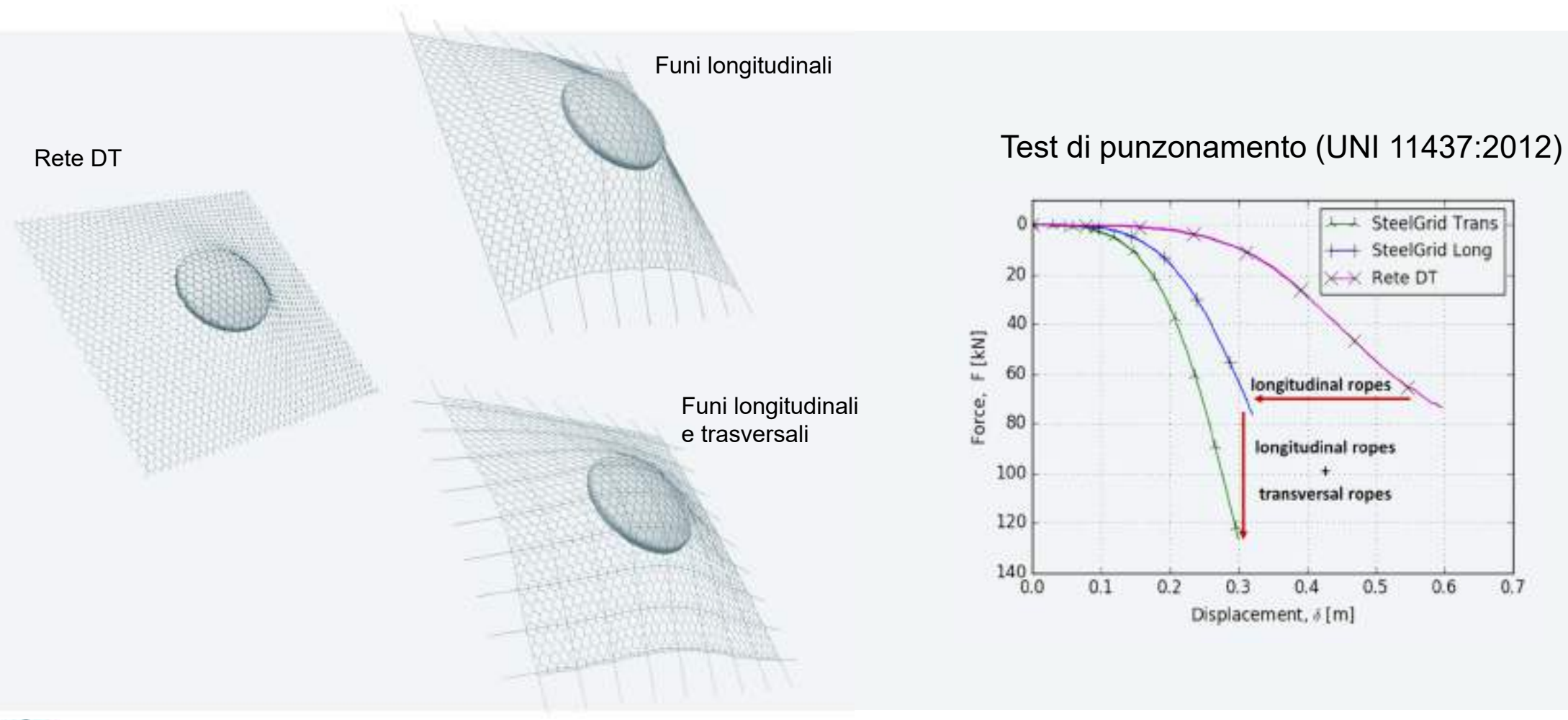


Risultati prove di punzonamento UNI 11437:2012



Reti in aderenza su pendii in roccia









MacArmour



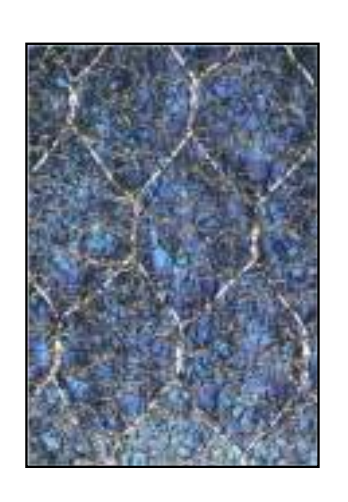


Reti in aderenza su pendii naturali o su scavi in terreno sciolto



MACMAT-R

Rete a Doppia Torsione a maglia esagonale preaccoppiata ad una geostuoia tridimensionale in PP







- Protezione dall'erosione
- Rinverdimenti
- Stabilizzazione superficiale





MACMAT HS

Rete a Doppia Torsione a maglia esagonale tipo 8x10 con funi di acciaio intessute, preaccoppiata ad una geostuoia tridimensionale in PP













Ripristino di dissesto idrogeologico mediante riprofilatura, regimentazione delle acque superficiali, consolidamento e rivestimento anti-erosivo

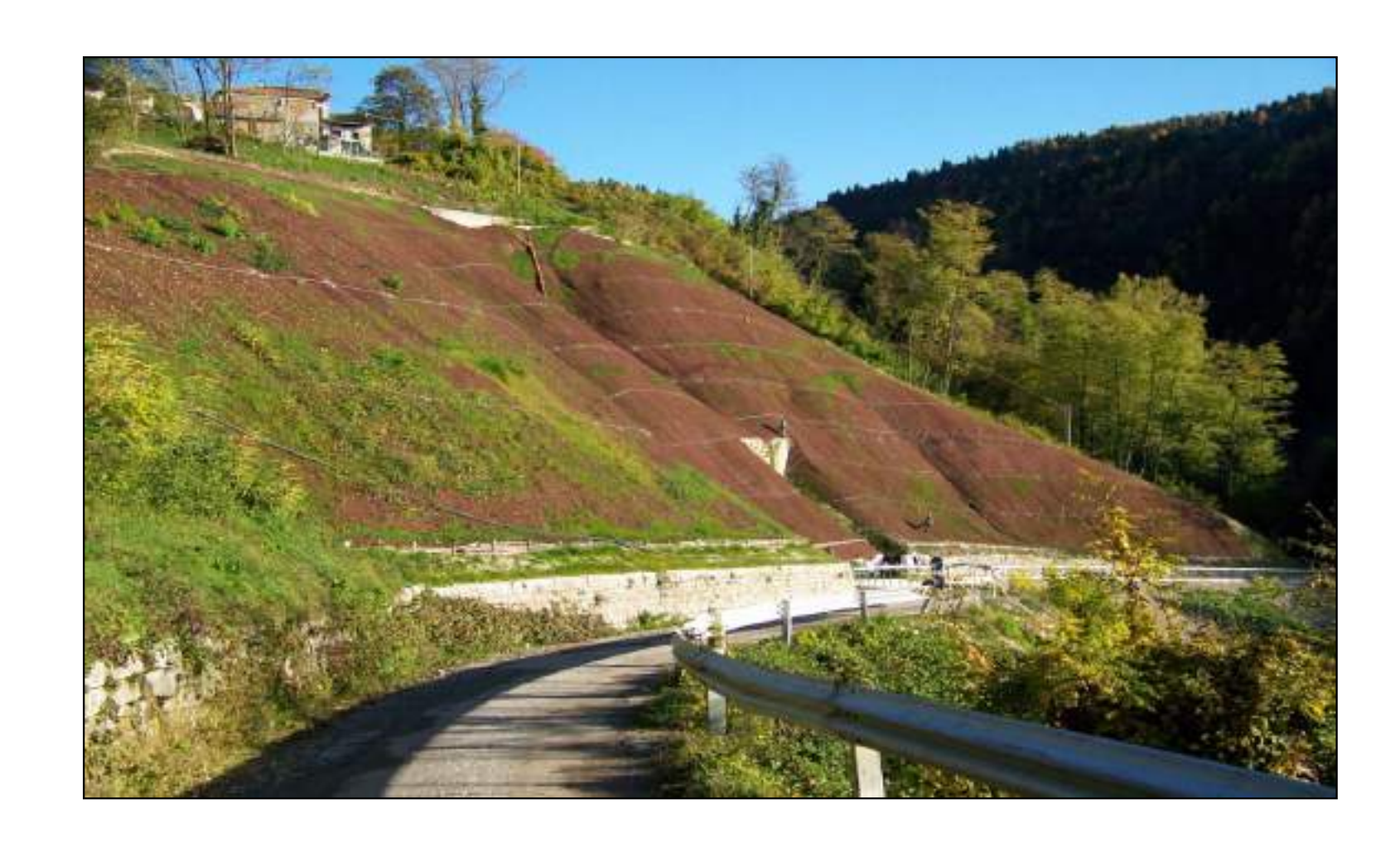






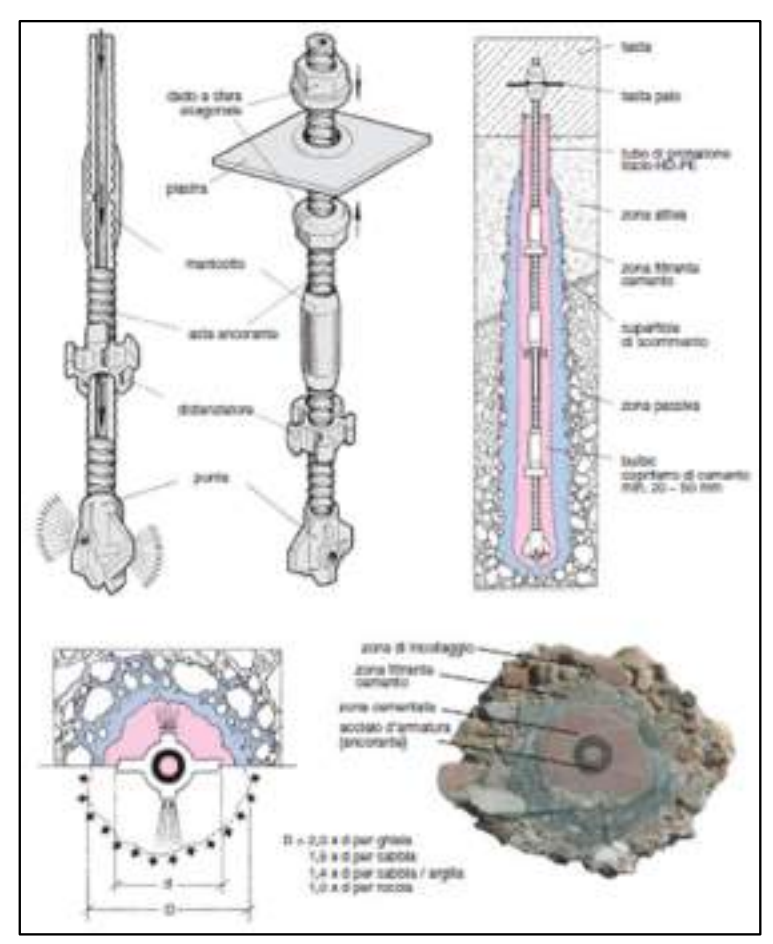


Reti in aderenza su pendii naturali o su scavi in terreno sciolto

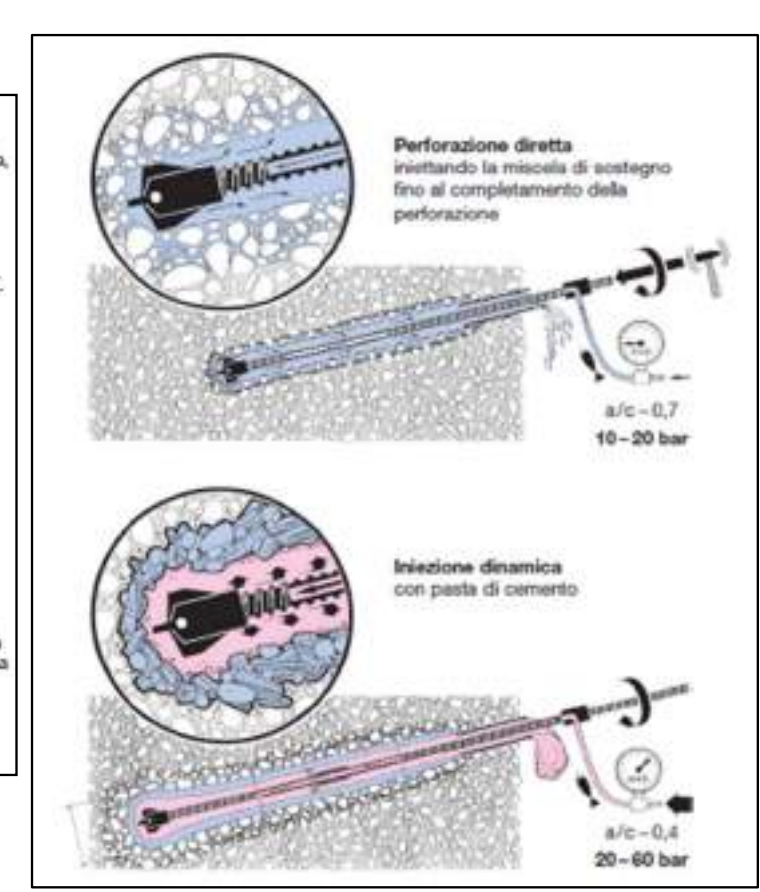


Reti in aderenza su pendii naturali o su scavi in terreno sciolto

















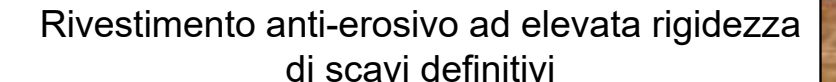


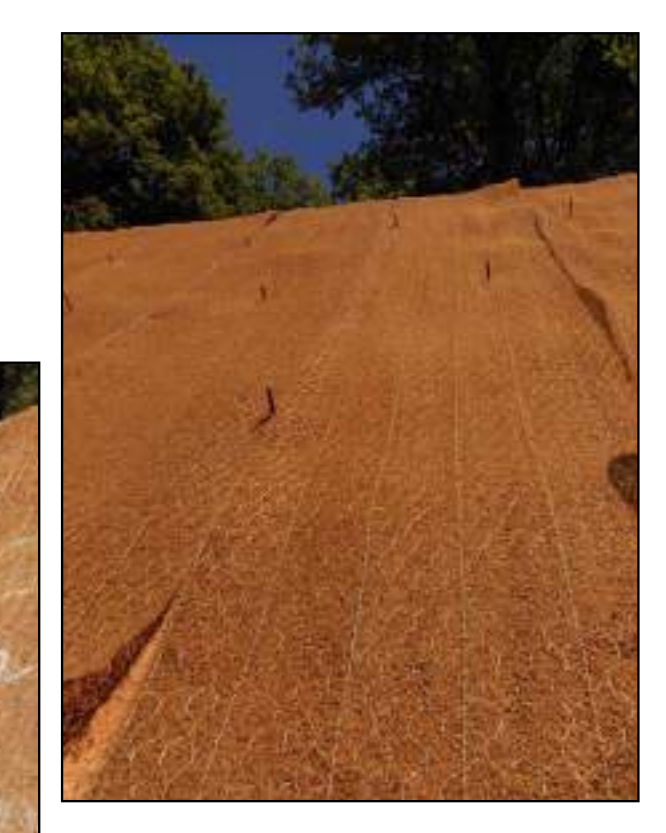
Rivestimento anti-erosivo di scavi definitivi







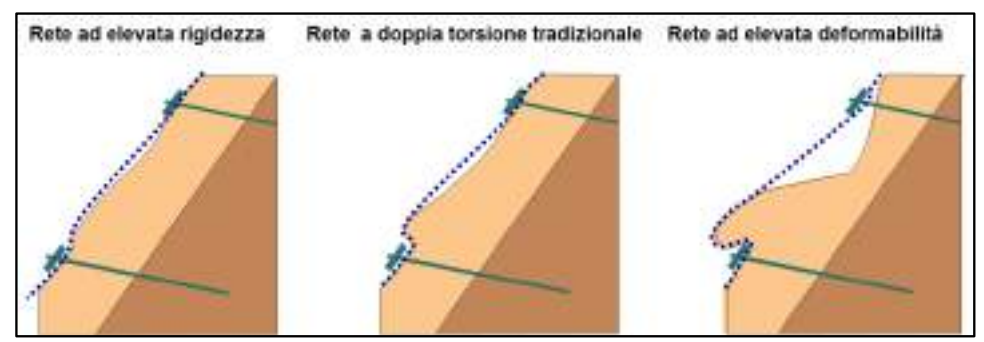








- La resistenza a trazione ha importanza marginale nella scelta della rete
- Maggiore è la rigidezza membranale della rete, più efficace è il rivestimento strutturale
- Lo scivolamento del terreno tra gli ancoraggi è la tipologia di collasso più frequente nel caso di rivestimento flessibile
- La spaziatura tra i chiodi ottimale è di 1,5 2,0 m. In ogni caso la spaziatura non deve mai superare 3 m

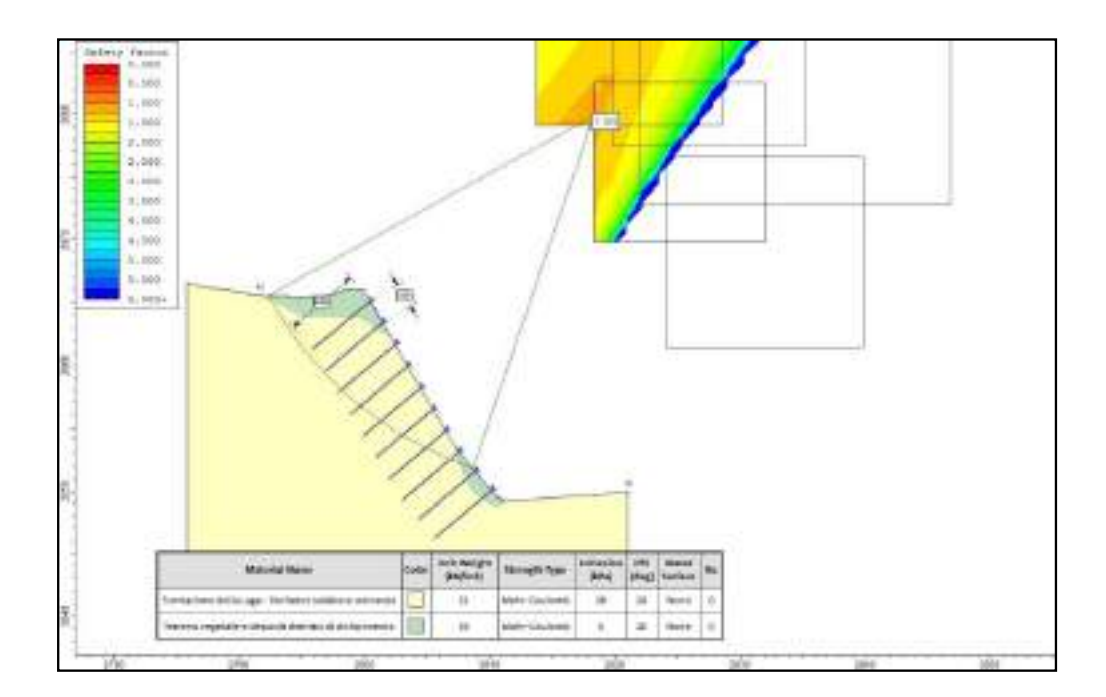




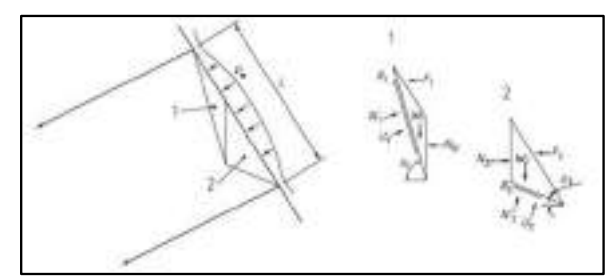




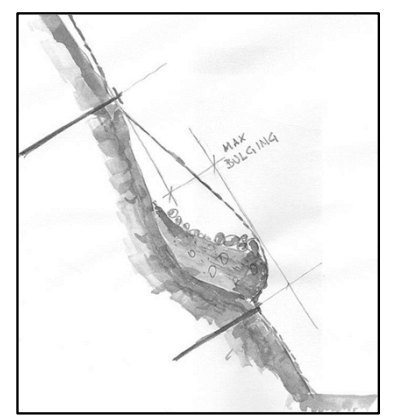
Verifica della stabilità globale e dimensionamento dei chiodi

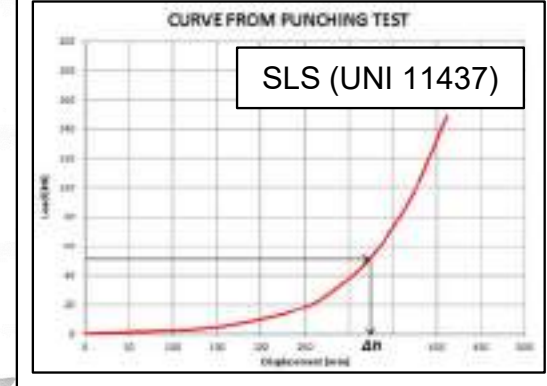


Verifica agli stati limite ultimo e di servizio del rivestimento (software BIOS)



SLU (BS 8006-2)







MACCAFERRI

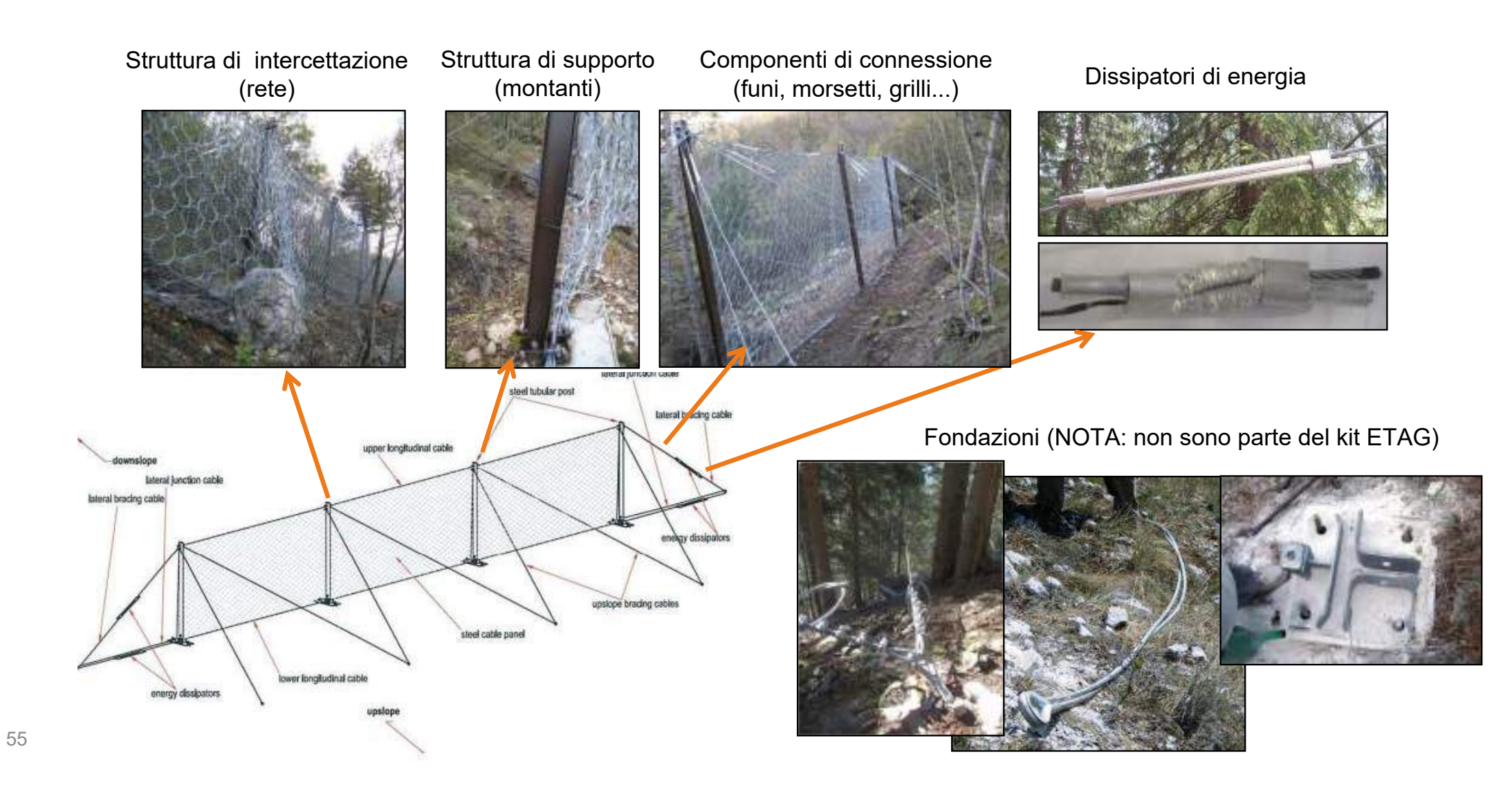














Dissipatori di energia (tipo CB)



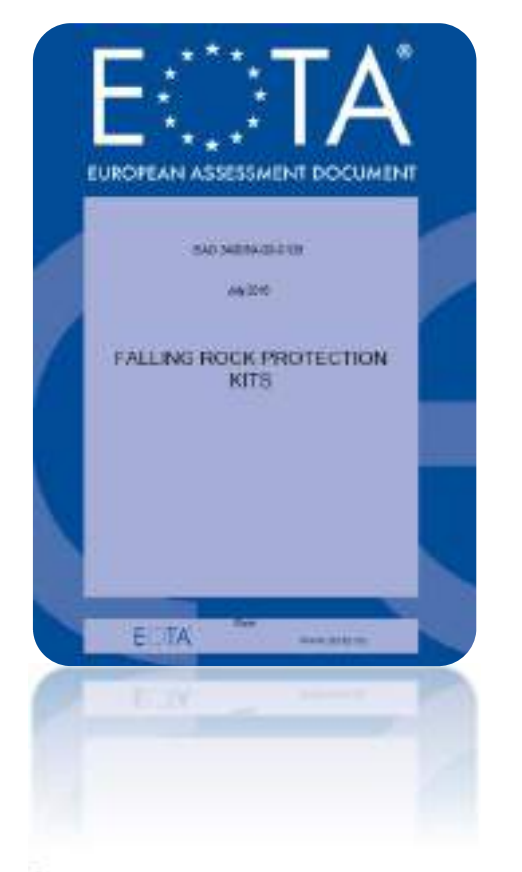








Come verificare la qualità di una barriera paramassi?





European Organisation for Technical Assessment



EAD 340059-00-0106 (ex ETAG 027)

European Assessment Document for Falling Rock Protection Kits (2018)



- 1. Definisce le prescrizioni per effettuare i test in scala reale
- 2. Definisce i controlli da effettuare sulla produzione e sui materiali



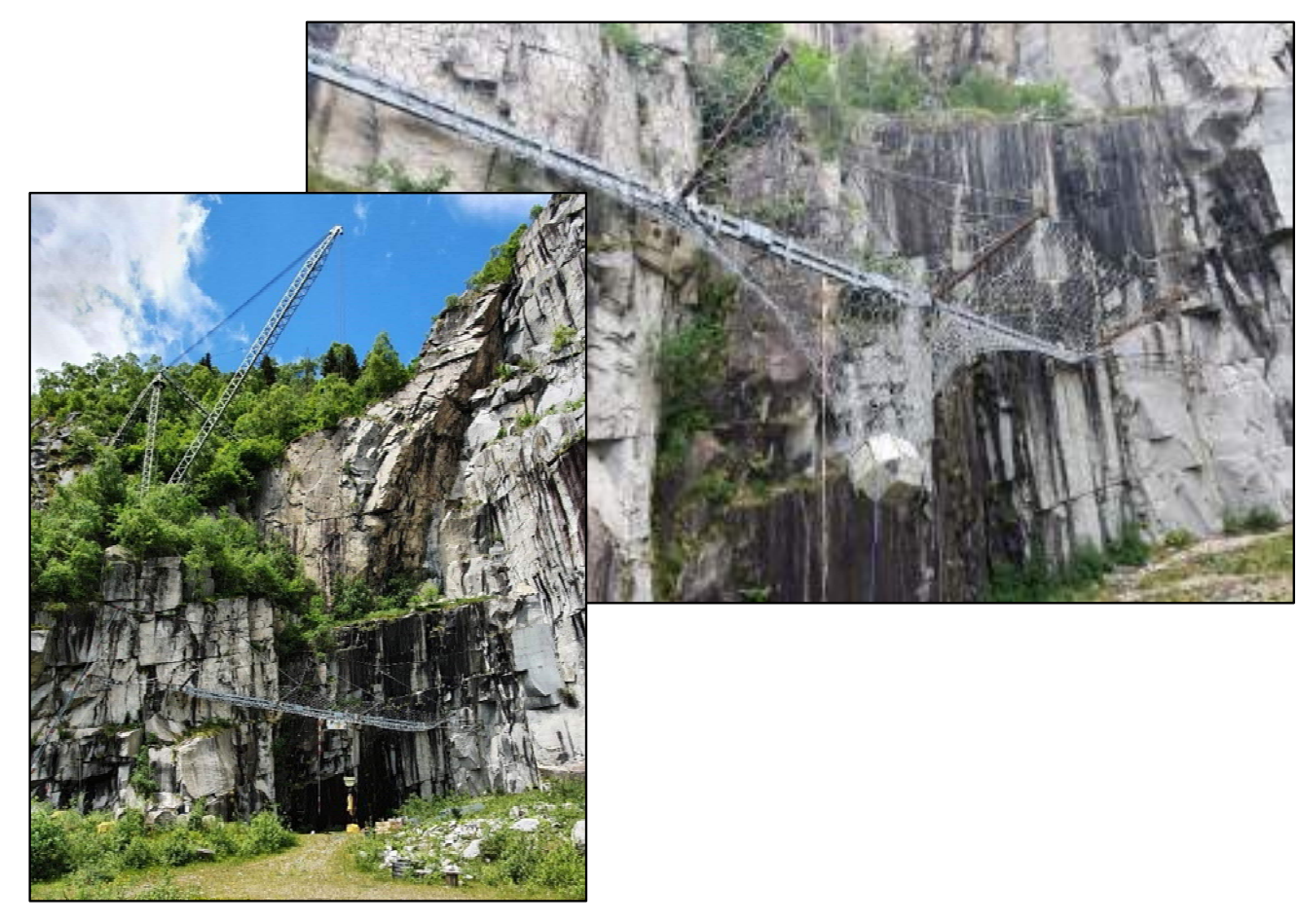
ETA (European Technical Assessment) & Certificato di Costanza della Prestazione



Campo prove di Fonzaso (BL)

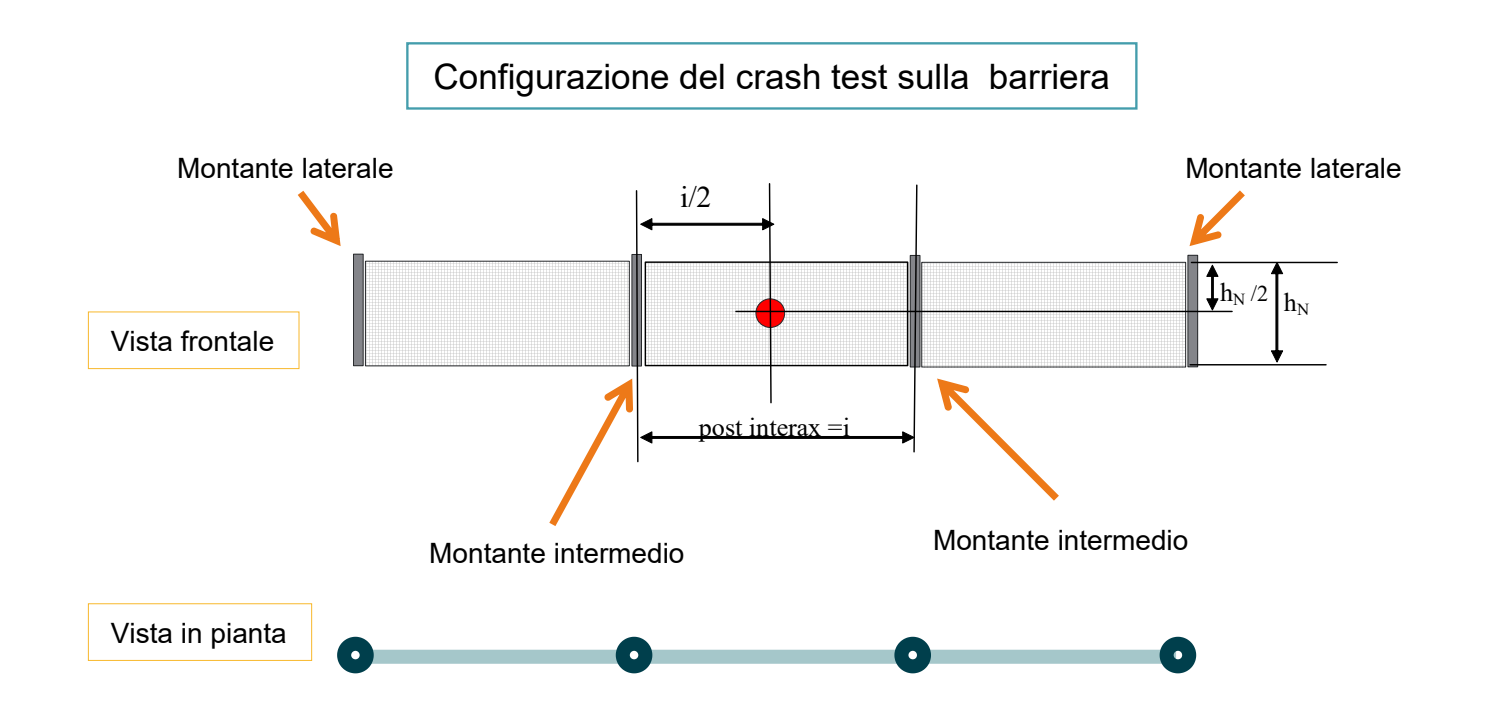








Le prove in campo sono condotte su una barriera con tre moduli allineati, ragione per cui i tre moduli sono la lunghezza minima suggerita per la barriera.





Classificazione livello di energia in kJ	0	1	2	3	4	5	6	7	8
SEL	923	85	170	330	500	660	1 000	1 500	>1 500
MEL ≥	100	250	500	1 000	1 500	2 000	3 000	4 500	>4 500

TEST 1 – MEL = Maximum Energy Level

- La barriera deve trattenere un masso col suo massimo livello energetico (100 %)
- <u>L'altezza residua della struttura di intercettazione dopo l'impatto indica il livello qualitativo (CATEGORIA) della barriera</u>

TEST 2 – SEL = Service Energy Level (1/3 MEL)

- La barriera deve trattenere senza subire gravi danni due impatti successivi di un masso con livello energetico pari ad 1/3 MEL
- L'altezza residua dopo il primo impatto deve essere maggiore del 70 %
- Nel secondo impatto la barriera deve solo trattenere il blocco





La gamma e le caratteristiche principali

Barriere	MEL (kJ)	Altezza nominale (m)	Altezze certificate ETAG 027 (m)	Deformazione massima MEL (m)
RB 100 UAF	100 *	2,13	2,0-2,5	2,10
RB 750	750	3,16	3,0 - 3,5	4,21
RB 1000	1000	3,75	3,5-5,0	4,63
RB 1500	1500	4,02	4,0-5,0	5,80
RB 2000	2000	4,01	4,0-5,0	6,42
RB 3000	3000	5,03	5,0 - 6,0	7,06
EPFM 5000	5500	6,05	6,0-7,0	8,25

^{*} senza controventi di monte







ETA

Certificato di Costanza della Prestazione

DOP

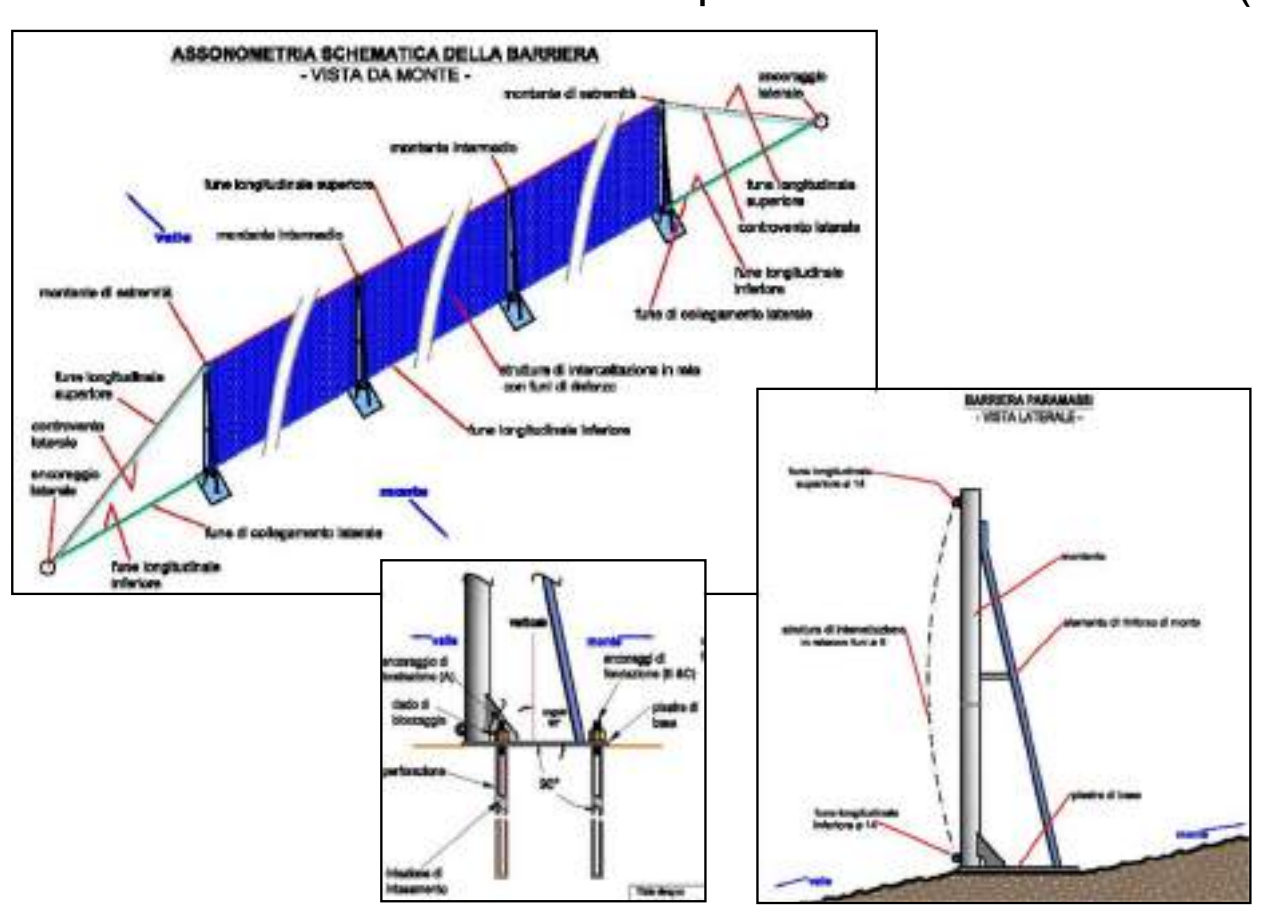








Barriera paramassi RB 100 UAF (100 kJ)







SP 136 Visso – Castel Sant'Angelo sul Nera (MC)







Barriera paramassi RB 2000 (2000 kJ)





Barriera paramassi RB 2000 (2000 kJ)

TEST MEL

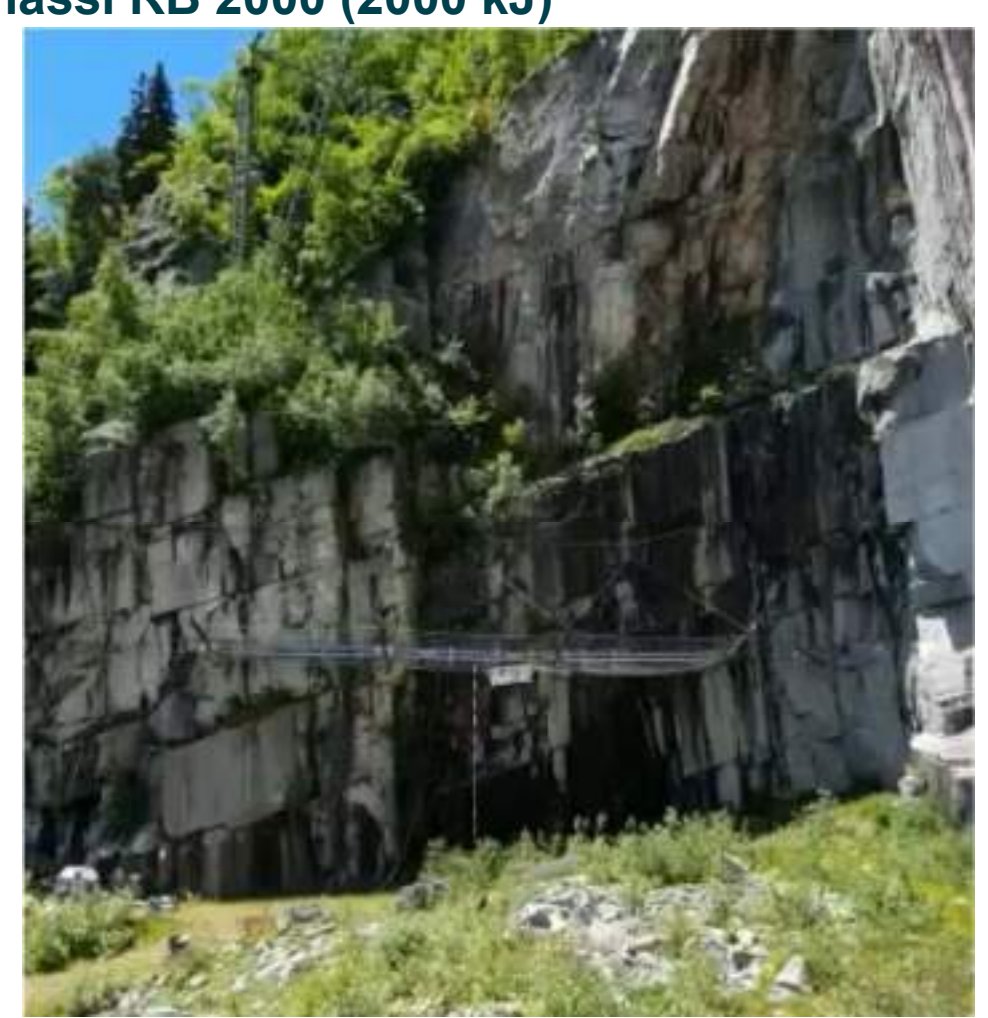




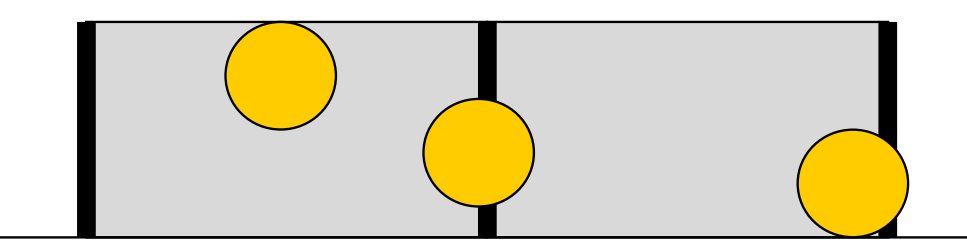
Barriera paramassi RB 2000 (2000 kJ)

SEL3

SEL3 è un test aggiuntivo non obbligatorio

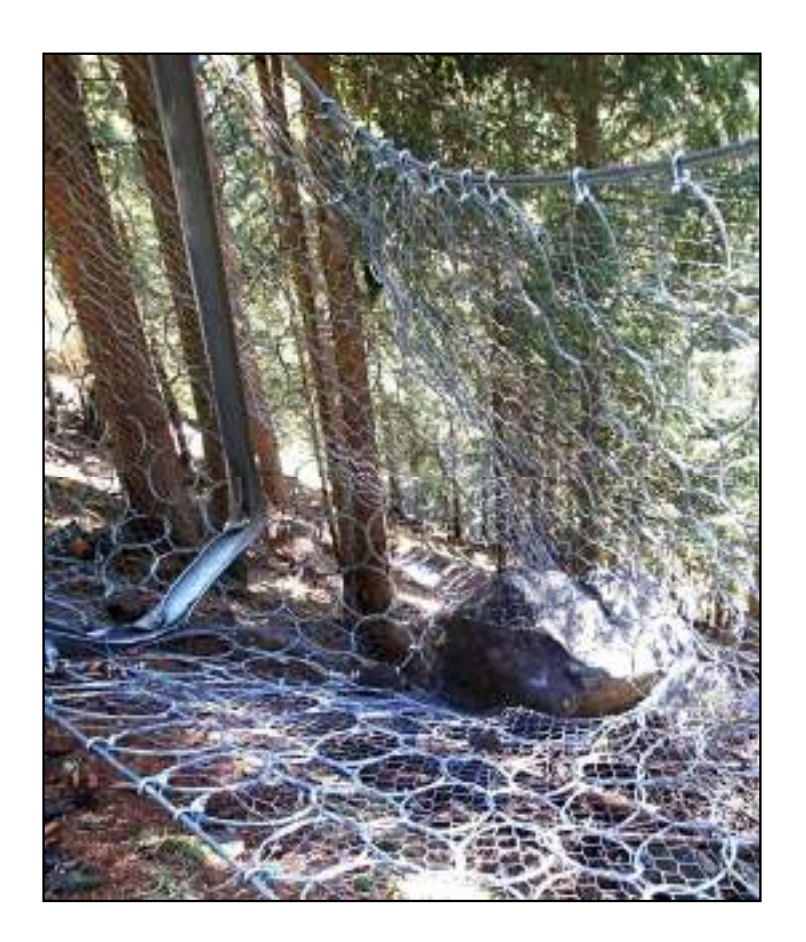




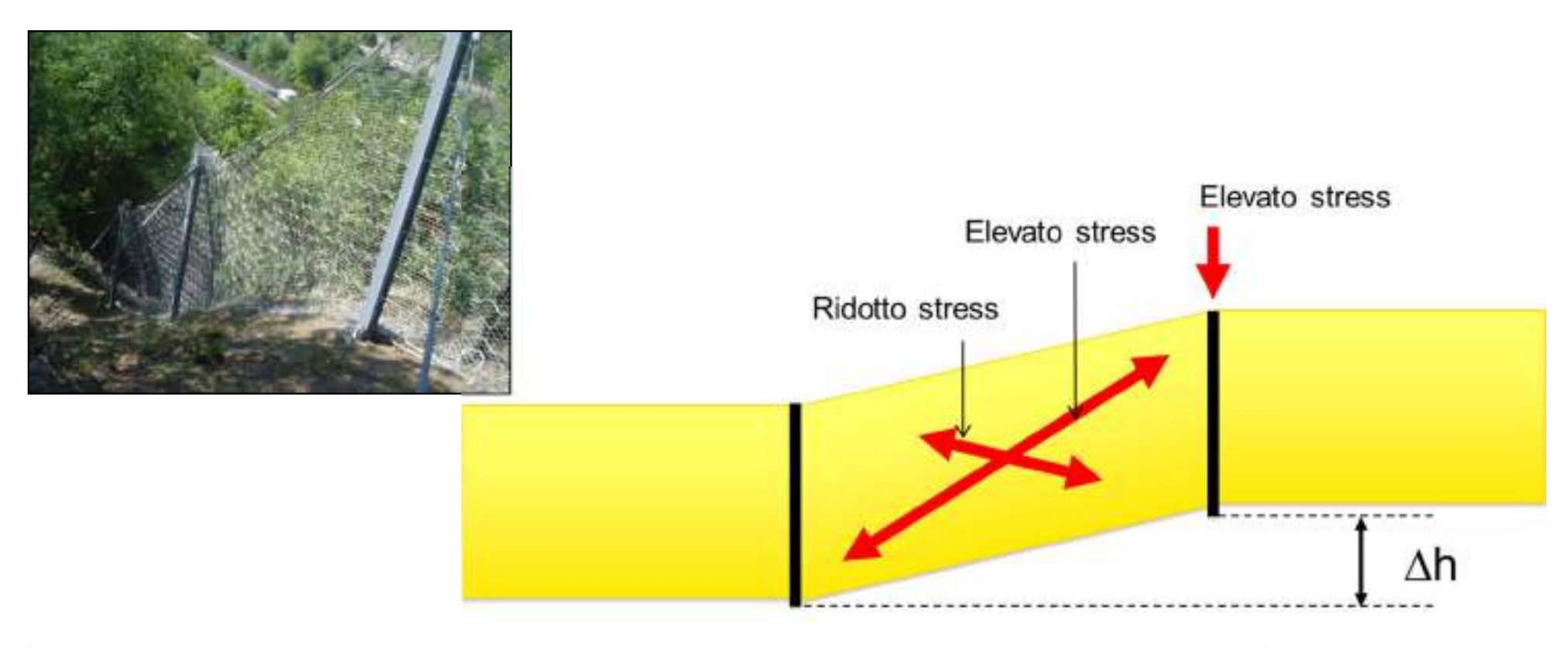


Nelle condizioni reali, le probabilità che la barriera venga impattata nel punto centrale della campata sono molto basse

Punti potenzialmente deboli:
- Porzione laterale della tratta
- Bordo superiore



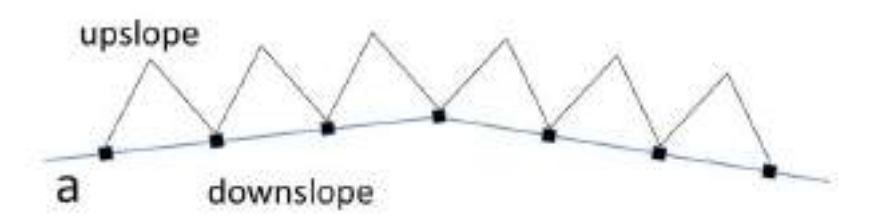




Se le basi dei montanti non sono disposte sullo stesso livello, la distribuzione delle forze sui vari component del kit non è uniforme: alcuni elementi potrebbero essere soggetti ad un carico maggiore rispetto a quello di progetto



Se la barriera non ha un andamento rettilineo in pianta....



... l'altezza residua potrebbe essere inferiore e l'allungamento potrebbe essere maggiore



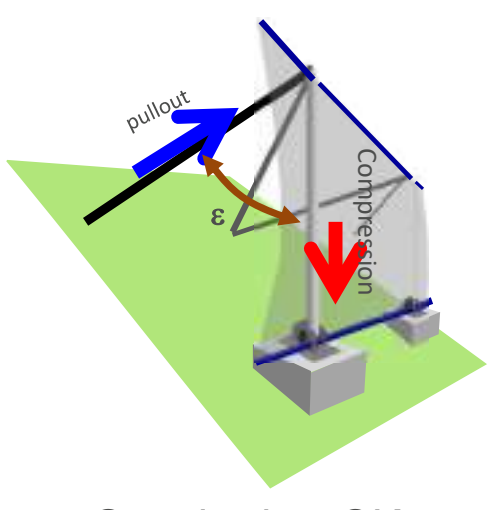
..... i montanti potrebbero essere soggetti ad un momento rotazionale verso monte



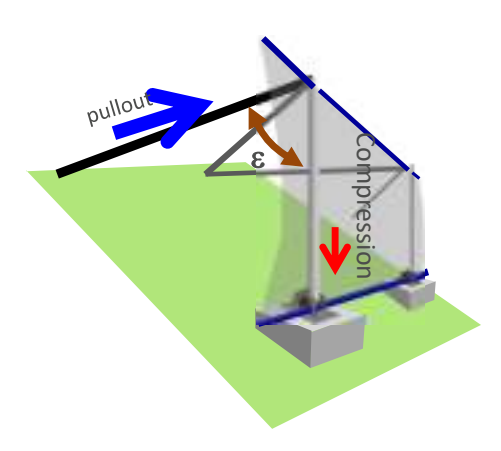




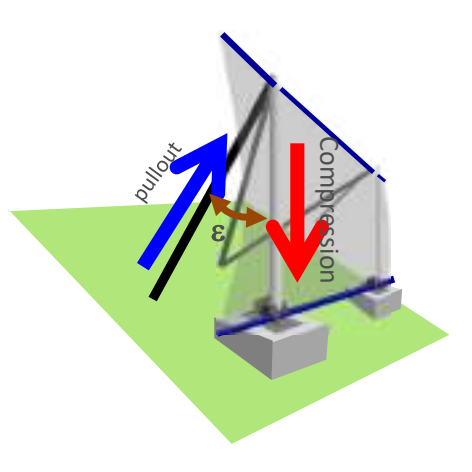
Variazione del carico di compressione alla base del montante e della forza agente sui controventi (e ancoraggi) di monte in funzione dell'inclinazione dei controventi di monte



Standard ϵ : OK



Maggiore ϵ : OK



Minore ϵ : NO



- Software commerciali per stimare le traiettorie
 - 2D: considerano solo il profilo del pendio.
 - 3D: considerano la reale morfologia del terreno.



Analisi preliminare della zona interessata dal fenomeno (fotogrametria e/o laser scanner)

- Analisi geomeccanica
 - ✓ Individuazione delle probabili zone di distacco.
 - ✓ Stima del volume dei possibili blocchi.
 - Determinazione della più probabile geometria del blocco.
- Individuazione dei parametri che possono influenzare le traiettorie
 - Proprietà del substrato.
 - Coefficiente di restituzione normale/tangenziale (elastico/anelastico).
 - Presenza o meno di ostacoli naturali (es. alberi).
 - Presenza di opere artificiali quali barriere paramassi
 - L'entità della deviazione della direzione di massima pendenza dopo l'impatto



contorno.

Analisi

Approccio statistico Adequato numero di simulazioni: tempo analisi e accuratezza risultati

Parametri dell'opera Energia di impatto e altezza di volo



Tipologia di opera da realizzare



Progettazione

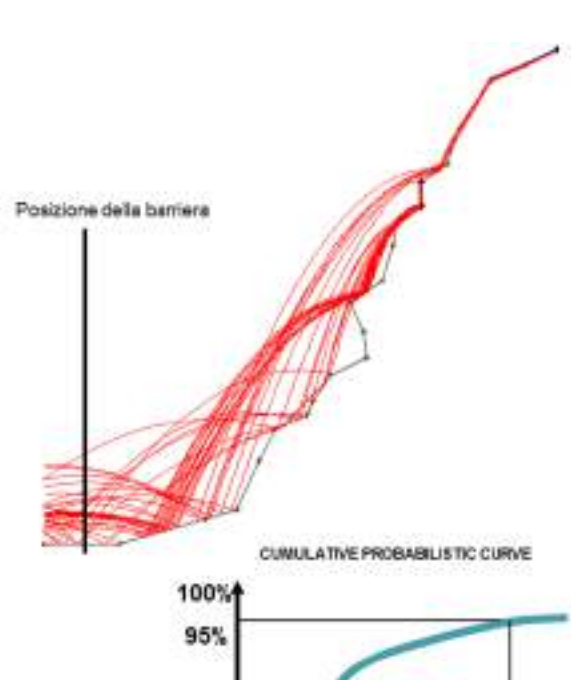
I crash test sulla barriera sono delle prove indicative perché sono sviluppate in particolari condizioni.

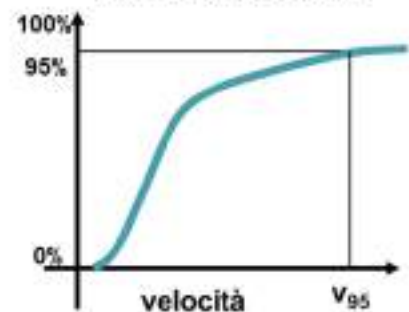
Non è dunque descritto il comportamento della barriera in tutte le condizioni.

Le variabili che definiscono le azioni agenti di progetto (volume del blocco di progetto, cinematismo di caduta lungo il pendio, ecc.) sono spesso affette da un'elevata incertezza

IL PROGETTO E' QUINDI BASATO SU UN APPROCCIO STATISTICO

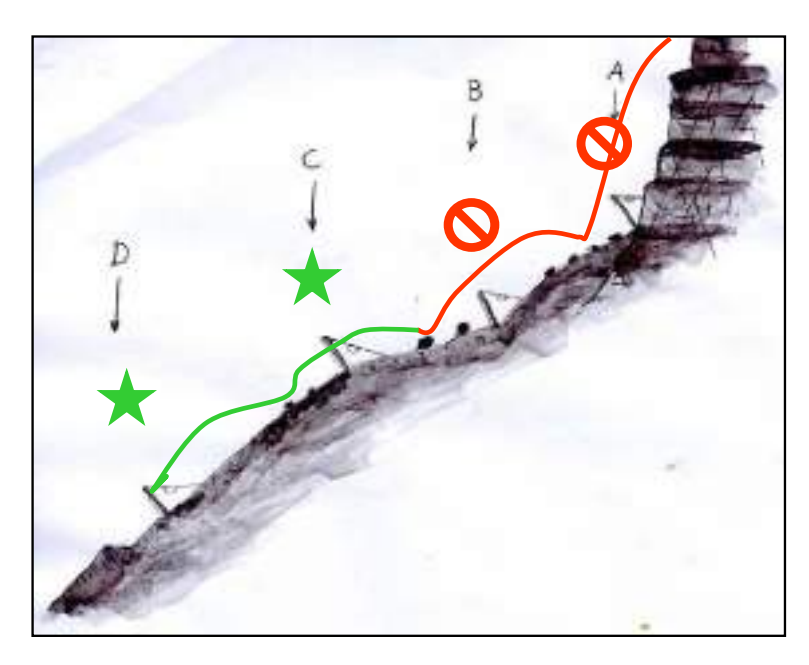
UNI 11211-4:2018 «Opere di difesa dalla caduta massi – Parte 4: Progetto definitivo ed esecutivo» fornisce indicazioni di dettaglio sul dimensionamento delle barriere paramassi (e.g. verifica dell'energia, dell'altezza della barriera e della distanza di sicurezza)





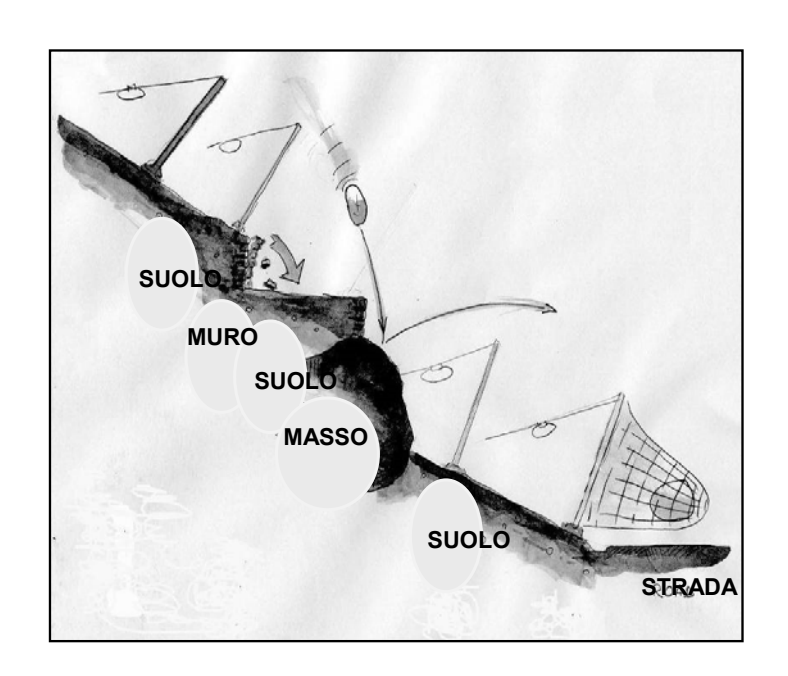


Posizionamento delle barriere paramassi



Dovrebbe essere scelta la morfologia più favorevole:

Le barriere sono meno efficaci quando realizzate in fossati oppure alla base di pendii rocciosi verticali



La distanza tra la barriera e l'infrastruttura da proteggere va verificata in funzione della deformata massima MEL



DIMENSIONAMENTO DELLA BARRIERA PARAMASSI IN ACCORDO ALLA NORMA UNI 11211-4

UNI 11211-4: Ottobre 2018

Opere di difesa dalla caduta massi

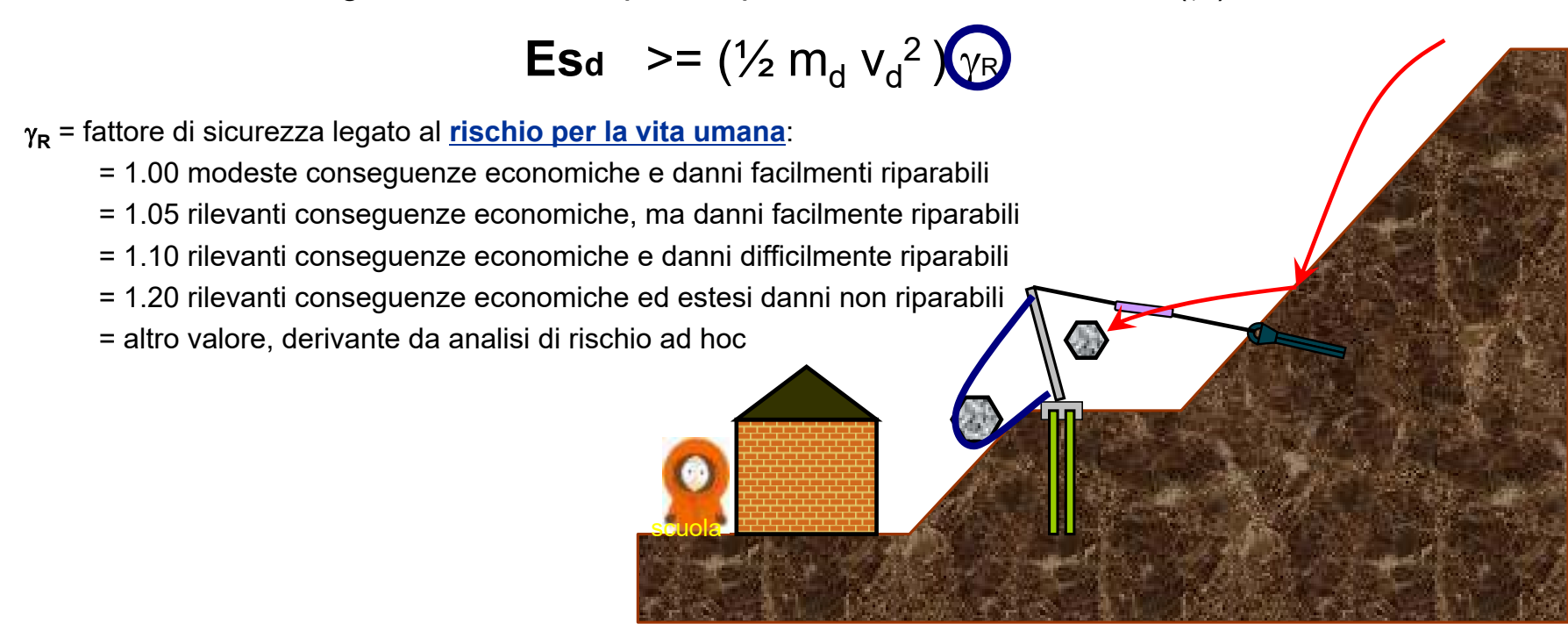
Parte 4: Progetto definitivo ed





Energia di progetto (UNI 11211-4:2018)

L' **Energia sollecitante di progetto** (E_{Sd}) è definita con la formulazione classica dell'energia cinetica, moltiplicata per un fattore di sicurezza (γ_E):





Velocità (UNI 11211-4: 2012)

La **velocità di progetto dei blocchi** (*va*) è definita come la velocità in corrispondenza del punto di impatto con l'opera corrispondente al frattile del 95% delle velocità calcolate (*vt*) moltiplicata per il coefficiente di sicurezza (γ_F):

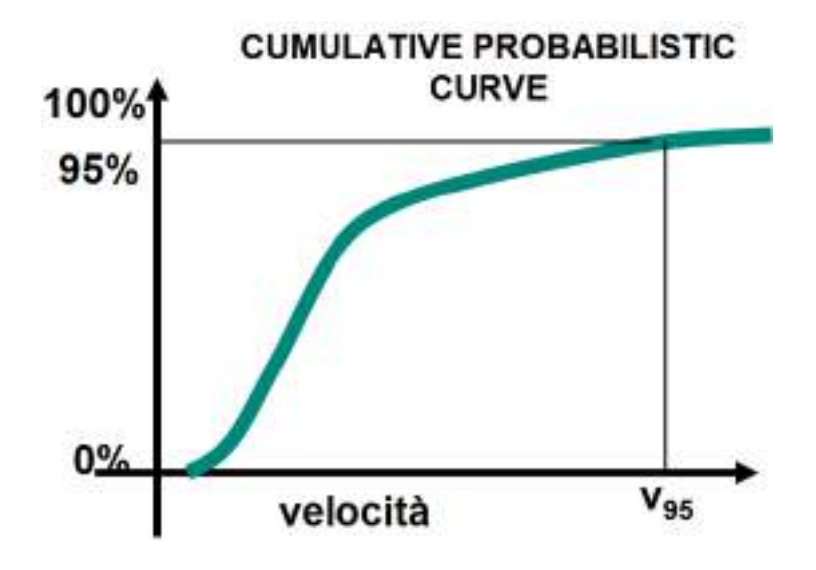
$$v_d = v_{95} \gamma_F = V_{95} (\gamma_{Tr} \gamma_{Dp})$$

γ_{Tr} = fattore di sicurezza che dipende dall'affidabilità delle simulazioni:

- = 1.02 se il coeff. di restituzione è definito con back analysis
- = 1.10 se il coeff. di restituzione è derivante dalle sole info bibliografiche

 γ_{Dp} = fattore di sicurezza dovuto alla <u>precisione del rilievo</u> topografico:

- = 1.02 se il pendio è discretizzato mediante un buon rilievo topografico
- = 1.10 se il pendio è discretizzato con media-bassa precisione





Massa Blocco (UNI 11211-4: 2012)

La **massa del blocco di progetto** (m_d) è definita come il prodotto del volume del blocco di progetto (Vol_b) per il peso specifico della roccia (γ), moltiplicato per un coefficiente di sicurezza (γ M):

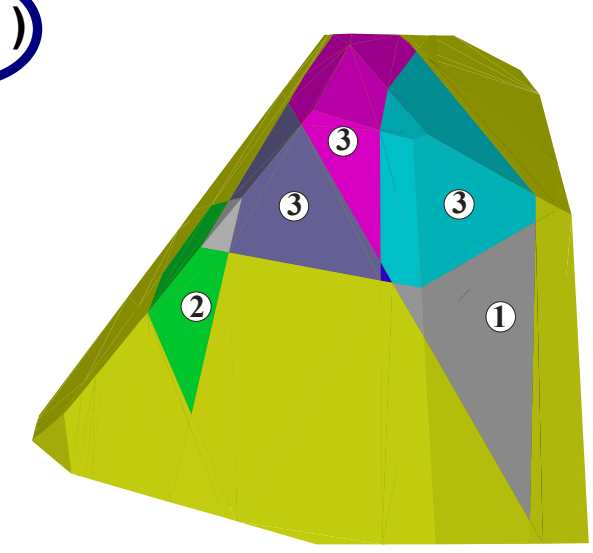
$$m_d = (Vol_b \ \gamma) \ \gamma_M = (Vol_b \ \gamma) (\gamma_{\gamma} \gamma_{VolF1})$$

 γ_{γ} = fattore di sicurezza legato alla <u>valutazione della massa per</u>

unità di volume della roccia = 1.00 (generalmente)

γ_{VolF1} = fattore di sicurezza legato alla <u>precisione del rilievo del</u>
<u>volume del blocco</u> di progetto:

- = 1.02 per rilievi accurati della parete (fotogrammetria, rilievi geomeccanici, ecc.)
- = 1.10 in assenza di rilievi legati al progetto.





Livello energetico di progetto (UNI – ETAG)

Il progetto di una barriera allo **Stato limite ultimo** significa riferire il progetto al **MEL (Maximum Energy Level dei crash test)**

- Deve essere utilizzata la capacità massima della barriera
- Si prevedono impatti singoli
- Sono possibili e convenienti frequenti ispezioni e lavori di manutenzioni in sito
- Esistono problemi di costi

Il progetto della barriera allo **Stato limite di servizio** significa riferire il progetto al **SEL (Service Energy Level = 1/3 MEL)** → **PER IMPATTI MULTIPLI**

- Non sono ammessi danni significativi alla barriera
- Si prevedono impatti multipli dei massi
- Sono difficili da fare frequenti ispezioni e lavori di manutenzione in sito
- Non ci sono problemi di costo



Verifica dell'Energia (UNI 11211-4)

L' **Energia sollecitante di progetto** (E_{Sd}) deve risultare minore dell'energia dissipabile dalla barriera fattorizzata per un fattore di sicurezza (γ_E):

Esd < Ebarriera / γE

 γ_E = fattore di sicurezza legato al <u>livello energetico di progetto scelto</u>:

- = 1.00 nel caso di approccio al SEL
- = 1.20 nel caso di approccio al MEL

Nota Bene:

Se per motivi morfologici è necessario installare una barriera con meno di 3 campate:

- = 1.00 nel caso di approccio al SEL
- = 1.20 nel caso di approccio al MEL, e ricorrere a 2 stendimenti paralleli
- = 2.00 nel caso di approccio al MEL





Verifica dell'altezza di intercettazione

Valutazione dell'altezza della barriera

$$h_{TOT} \ge h_d + f_{min}$$
 dove: $h_d \ge h_{95} \gamma_{Tr} \gamma_{Dp}$

h_{tot} altezza commerciale della barriera in accordo a ETAG 027

h₉₅ altezza del punto di impatto del baricentro del blocco al frattile del 95% delle altezze calcolate

h_d altezza di impatto di progetto

f_{min} franco libero minimo, pari al raggio del blocco e comunque non inferiore a 0,5 m

γ_{Tr} fattore di sicurezza che dipende dall'affidabilità delle simulazioni:

- = 1.02 se il coeff. di restituzione è definito con back analysis
- = 1.10 se il coeff. di restituzione è derivante dalle sole info bibliografiche

 γ_{Dp} fattore di sicurezza dovuto alla <u>precisione del rilievo topografico</u>:

- = 1.02 se il pendio è discretizzato mediante un buon rilievo topografico
- = 1.10 se il pendio è discretizzato con media-bassa precisione



Verifica della deformazione (UNI 11211-4)

Valutazione della deformazione della barriera

$$d_{Arresto} \ge d_{barriera} \gamma_d$$

 γ_d = coefficiente di sicurezza sulla deformazione della barriera:

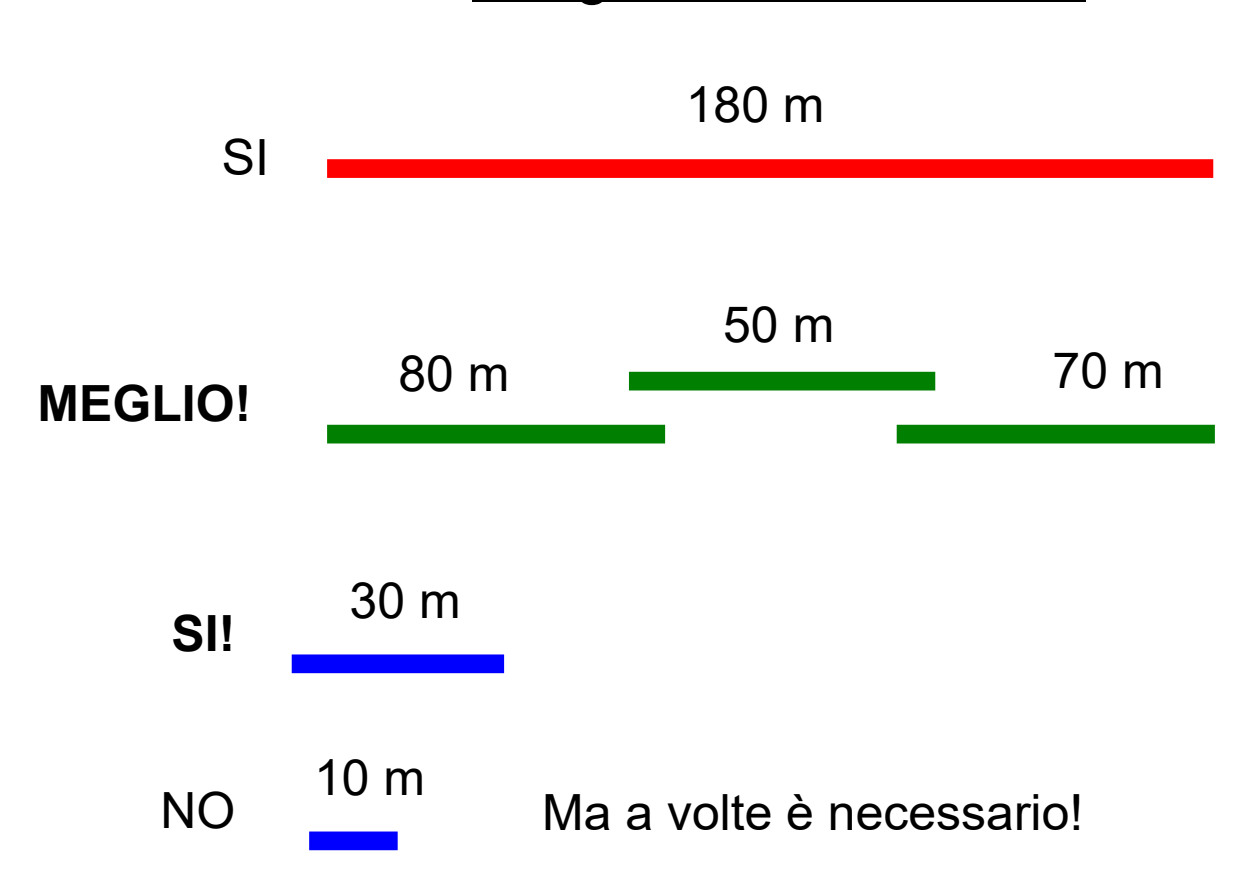
- = 1.30 se è stato utilizzato l'approccio al MEL
- = 1.50 con l'approccio al MEL e le campate di estremità sono comprese nell'area delle possibili traiettorie OPPURE la barriera ha meno di 3 campate
- = 1.00 se è stato utilizzato l'approccio al SEL





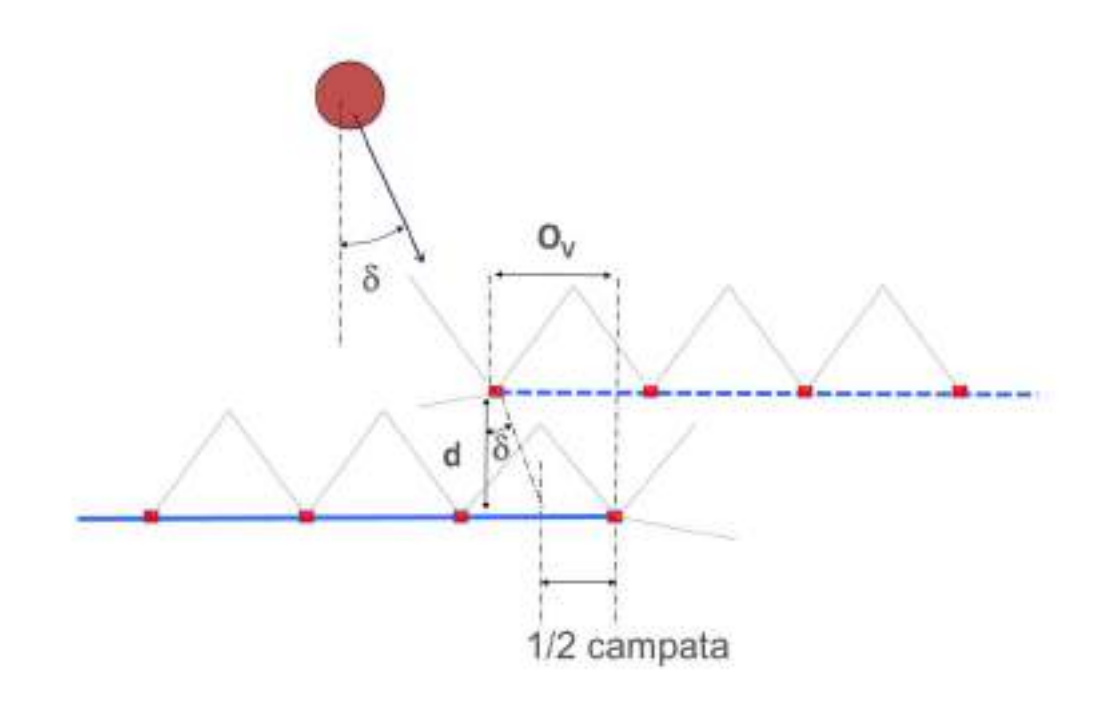


Lunghezza delle tratte





Sovrapposizione tra tratte contigue



La sovrapposizone dipende principalmente dalla distanza tra le due barriere:

O_V = 1/2 campata + d tand

 δ = 15° per pendii regolari, blocchi rotondeggianti

d = 35° per pendii irregolari, blocchi tabulari





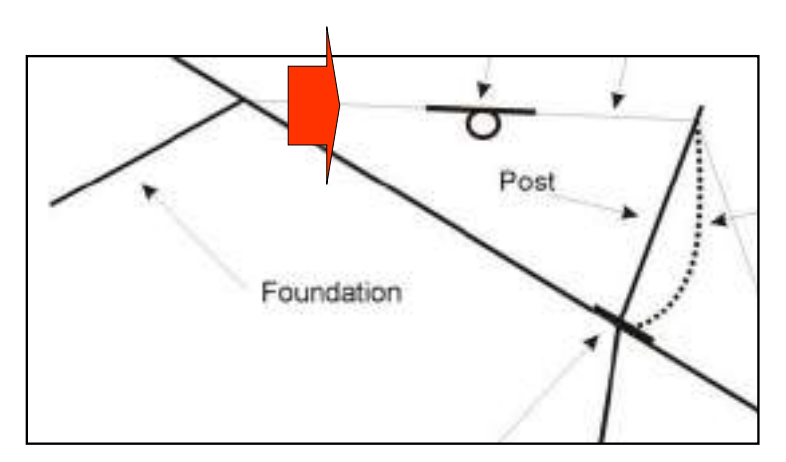


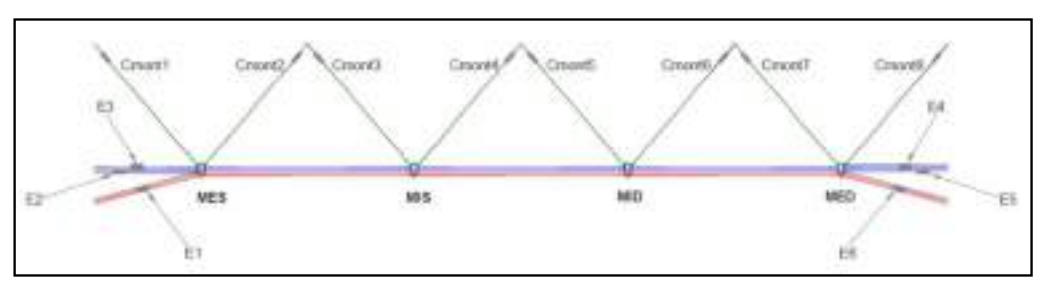
Le fondazioni delle barriere devono essere progettate considerando le forze misurate durante il test MEL, anche se la barriera è stata progettatata allo Stato Limite di Servizio (SEL)

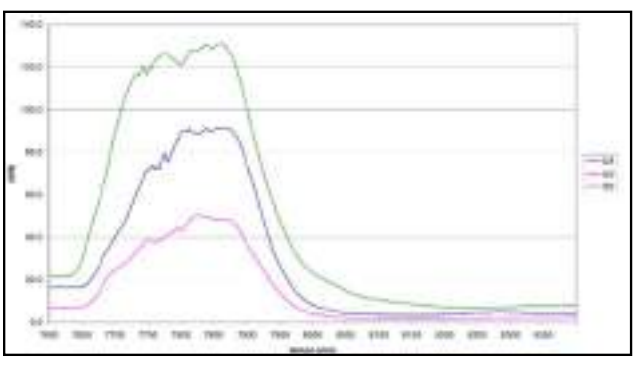




Le forze agenti sulle funi principali del kit sono misurate durante l'impatto per mezzo di celle di carico installate direttamente sulle fondazioni e/o sulle stesse funi principali





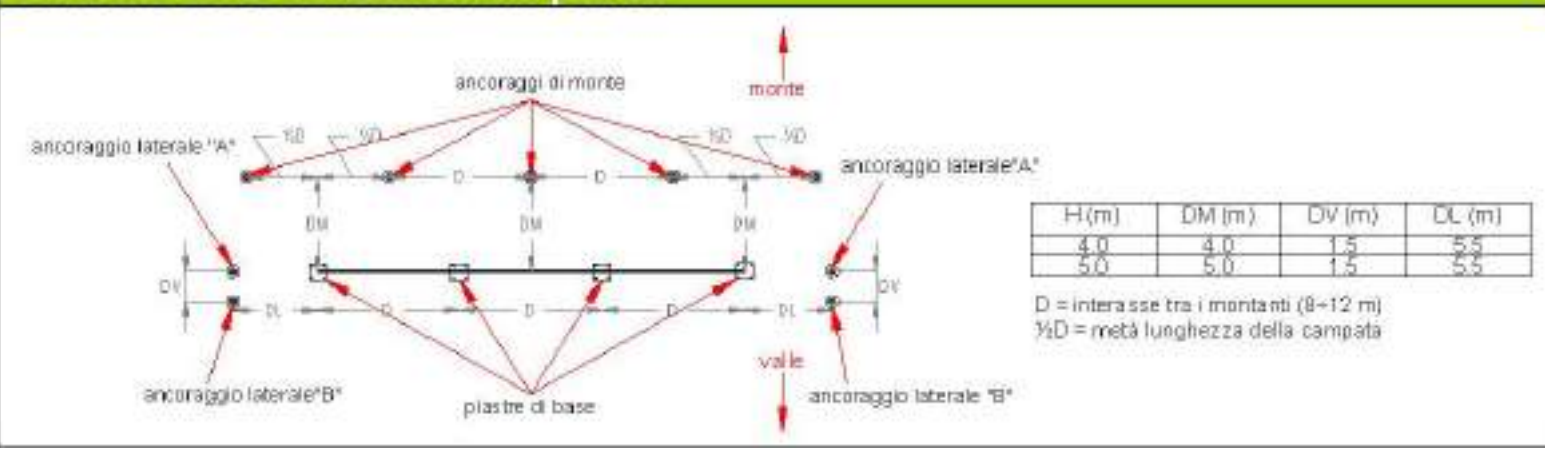




Carichi di progetto

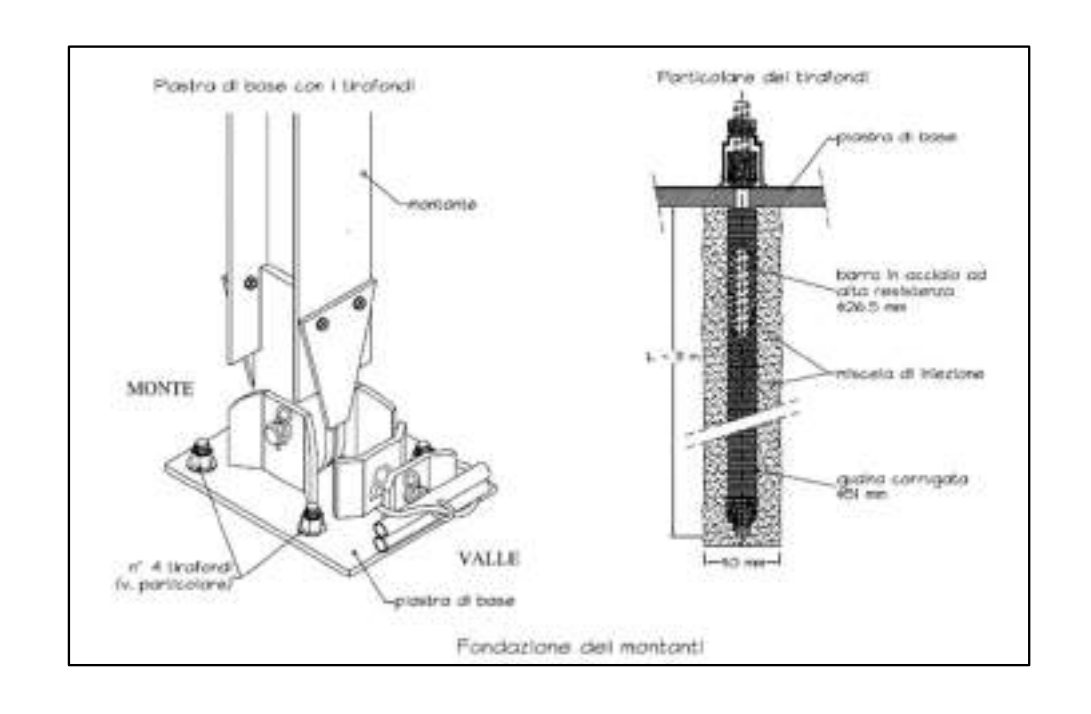
RB 2000

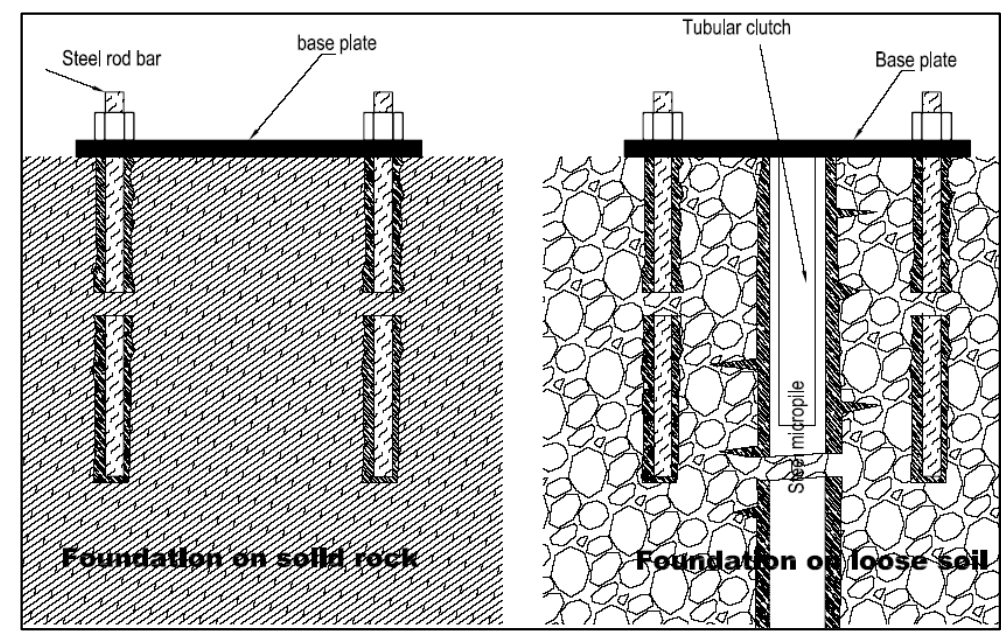
Carico di trazione sugli ancoraggi laterali "B" - (valore max)	164 kN
Carico di trazione sugli ancoraggi di monte - (valore max)	182 kN
Carico di compressione alla base dei montanti - (valore max)	189 kN
Carico di taglio alla base dei montanti - (valore max) Schema delle fondazioni in pianta	160 kN





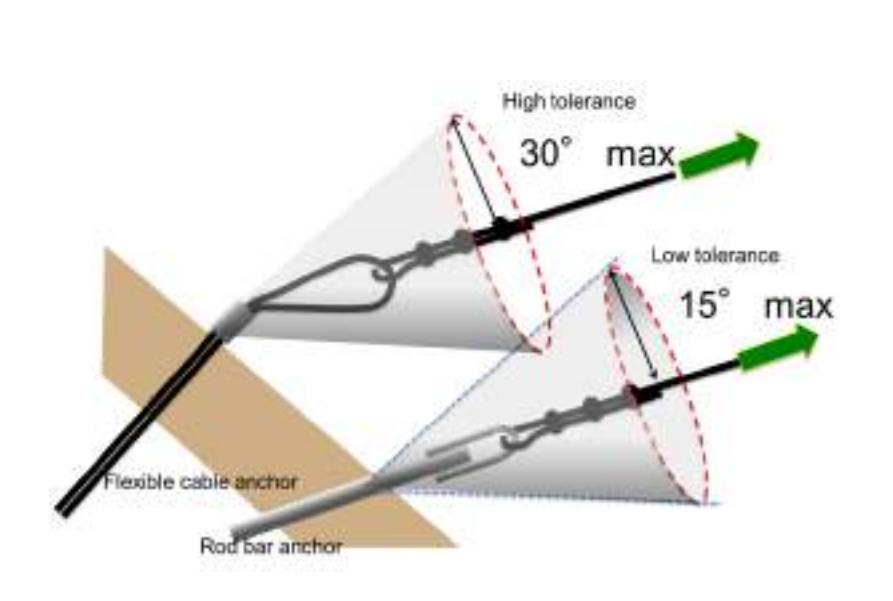
Fondazione dei montanti







Ancoraggi di monte e laterali (in doppia fune spiroidale)

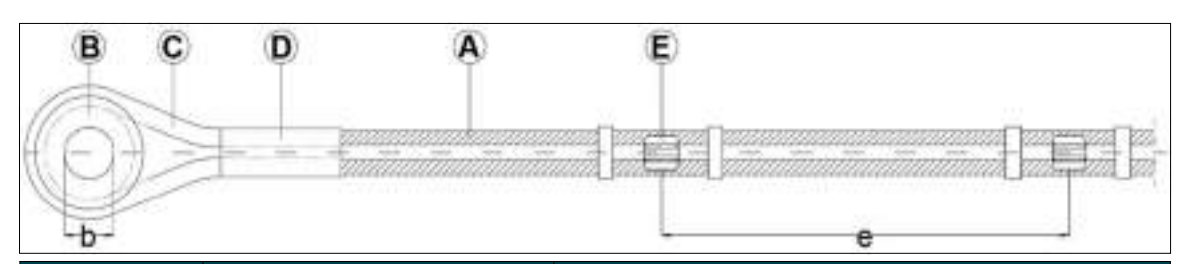








Ancoraggio in doppia fune spiroidale tipo "RRA" (o C-FAST)



Elemento	Descrizione	Normative di riferimento
Α	Fune spiroidale	Classe di resistenza della fune ≥1570 MPa (EN 12385-10) Zincatura Classe A (EN 10244-2)
В	Rinforzo circolare di testa b= 80 – 82 mm	Acciaio S355 (EN 10025) – spessore ≥ 25 mm Zincatura elettrolitica (ISO 2081) o a caldo (EN 1461)
С	Tubo di protezione	Acciaio INOX AISI304 (EN 10080-3)
D	Collare ovale	Acciaio INOX AISI304 (EN 10080-3)
E	Distanziatore (opzionale) e=1000 mm	Polietilene PE o Zincatura Classe A (EN 1461)

24



Carico minimo di rottura a Diam. Costruzione trazione dell'ancoraggio [mm] della fune 308 kN 14 1x19 426 kN 16 516 kN 18 20 629 kN 1x37 22 651 kN

736 kN

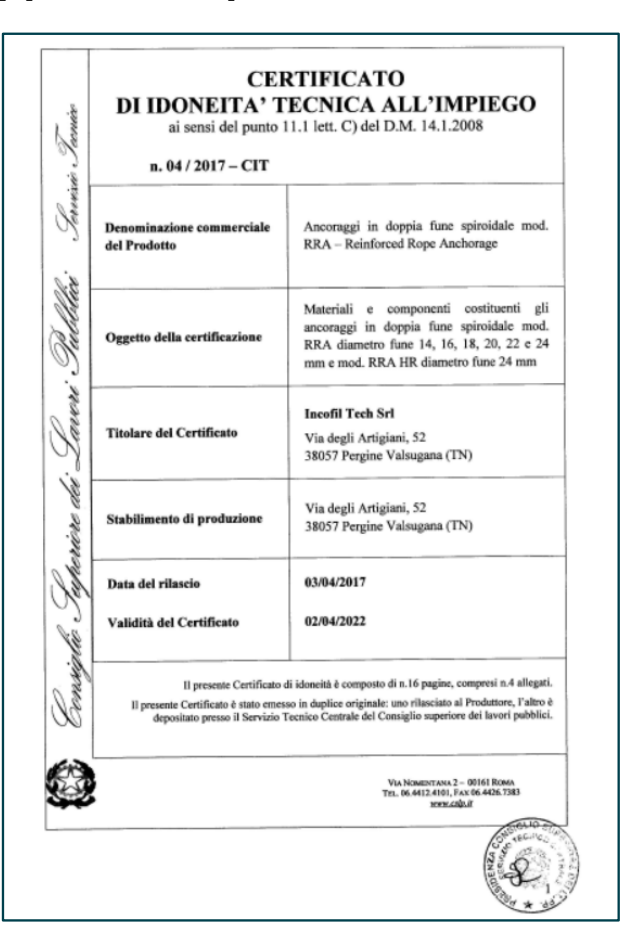
VANTAGGI

- Testa dell'ancoraggio (asola) non soggetta a deformazione
- Le caratteristiche meccaniche in sito coincidono con il comportamento in laboratorio
- Maggiore resistenza a trazione e soprattutto maggiore affidabilità



C.I.T. (C.V.T.) ancoraggi in doppia fune spiroidale













Prove su ancoraggi di fondazione in opera

Sono eseguite su ancoraggi di fondazione costituenti l'opera, in fase esecutiva e/o in fase di collaudo, al fine della verifica sperimentale della loro idoneità.

- Per sistemi in rete o per opere di consolidamento e/o legatura di masse rocciose, la prova di collaudo degli ancoraggi in opera deve essere effettuata con un carico di prova Ne pari a 1,2 volte il carico di esercizio.
- Per le barriere paramassi a rete la prova di collaudo di ancoraggi di fondazione in opera è effettuata con un carico di prova N₀ pari a;
 - 1,2 volte il carico di esercizio, comispondente ai carico misurato durante la prova SEL1
 - oppure laddove tale valore calcolato ecceda quello misurato durante la prova MEL, il carloo W-sarà pari al carloo misurato durante la prova MEL.
- In ogni caso dovranno essere scelte metodologie di prova idonee a non arrecare danni significativi si componenti strutturali dell'ancoraggio. Al fine di evitare deformazioni plastiche (in particolare riduzione della dimensione) dell'asola dell'ancoraggio di fondazione, si potranno utilizzare pemi di connessione all'attrezzatura di prova aventi idonea dimensione.

Prove su ancoraggi di fondazione fuori opera

Le prove su ancoraggio di fondazione fuori opera sono eseguite in diverse fasi:

- in fase di progettazione su ancoraggi di fondazione preliminari di prova per la determinazione o conferma dei valori di resistenza ipotizzati;
- In fase esecutiva su ancoraggi di fondazione a perdere della medesima tipologia utilizzata nell'opera. In questo caso le prove possono essere spinte fino allo stato limite utimo o fino a rottura.

Gil ancoraggi di fondazione di prova realizzati fuori opera, sottoposti a solleditazioni più severe di quelle previste per gli ancoraggi di fondazione in opera e non utilizzabili per l'Impiego successivo, devono essere realizzati con lo stesso sistema costruttivo di quelli in opera, nello stesso sito e nelle stese condizioni ambientati.

Per le barrière paramassi a reté la prova su ancoraggi di fondazione fuori opera è effettuata con un carico di prova N_C non inferiore al carico di progetto e comunque non inferiore a quello misurato durante la prova MEL, oppure fino a rottura.



Carichi di collaudo

RB 2000

Carico di trazione sugli ancoraggi laterali "A"	172,7 kN
Carico di trazione sugli ancoraggi laterali "B"	140,9 kN
Carico di trazione sugli ancoraggi di monte	84,1 kN
quello misurato durante la prova MEL) Carico di trazione sugli ancoraggi laterali "A"	
	207 kN
	207 kN 164 kN
Carico di trazione sugli ancoraggi laterali "B" Carico di trazione sugli ancoraggi di monte	207 KN 164 KN 101 KN
Carico di trazione sugli ancoraggi laterali "B" Carico di trazione sugli ancoraggi di monte Carichi minimi di collaudo su ancoraggi	164 kN 101 kN pl fuori opera
Carico di trazione sugli ancoraggi laterali "B" Carico di trazione sugli ancoraggi di monte Carichi minimi di collaudo su ancoraggi (pari al carico massimo misurato durante la prova MEL	164 kN 101 kN pl fuori opera
Carico di trazione sugli ancoraggi laterali "B"	164 kN 101 kN gi fuori opera



Manutenzione straordinaria





Particolare degli elementi dissipatori

Barriera da 5000 kJ impattata da un masso di circa 1,5 m³









La Barriera a seguito di manutenzione

La particolare struttura della barriera paramassi ha consentito un intervento di manutenzione rapido ed economico:

solo n. 4 dissipatori e n. 2 controventi sostituiti





MAKE YOUR ROCKFALL PROTECTION SMARTER



Trasmissione giornaliera di dati essenziali



DOVE sono situati i sistemi di protezione?



I sistemi di protezione sono stati IMPATTATI?



Cos'è

HELLOMAC è il sistema di allerta studiato per la salvaguardia delle vite umane, delle infrastrutture ed edifici protetti da qualunque tipologia di barriere paramassi.

Il segnale di allarme è inviato immediatamente al computer e smartphone tramite app, e-mail o sms.

Il dispositivo permette inoltre di attivare sistemi locali di sirene e luci di allarme.





Com'è fatto

HELLOMAC è un dispositivo compatto e robusto realizzato con una speciale lega metallica sviluppata appositamente per resistere a forze di notevole intensità.

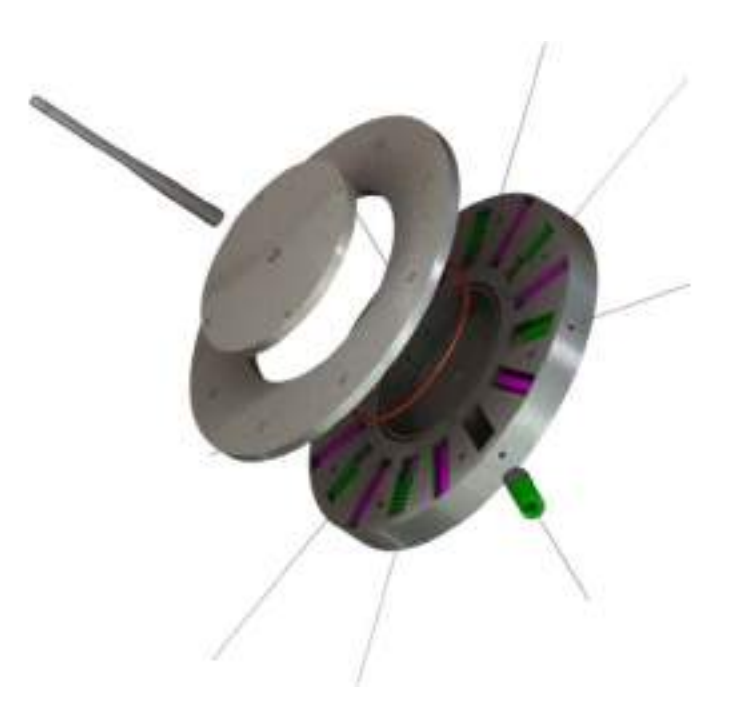
Il dispositivo è inoltre in grado di rilevare varie tipologie di eventi come impatti, sforzi, deformazioni, ecc. Questo per eventi agenti sul ciascun modulo del sistema di protezione e provenienti da direzioni diverse (fino ad 8).





Com'è fatto

- No alimentazione esterna solo batterie
- No configurazione o attivazione iniziale
- No operaio specializzato per installazione
- No manutenzione



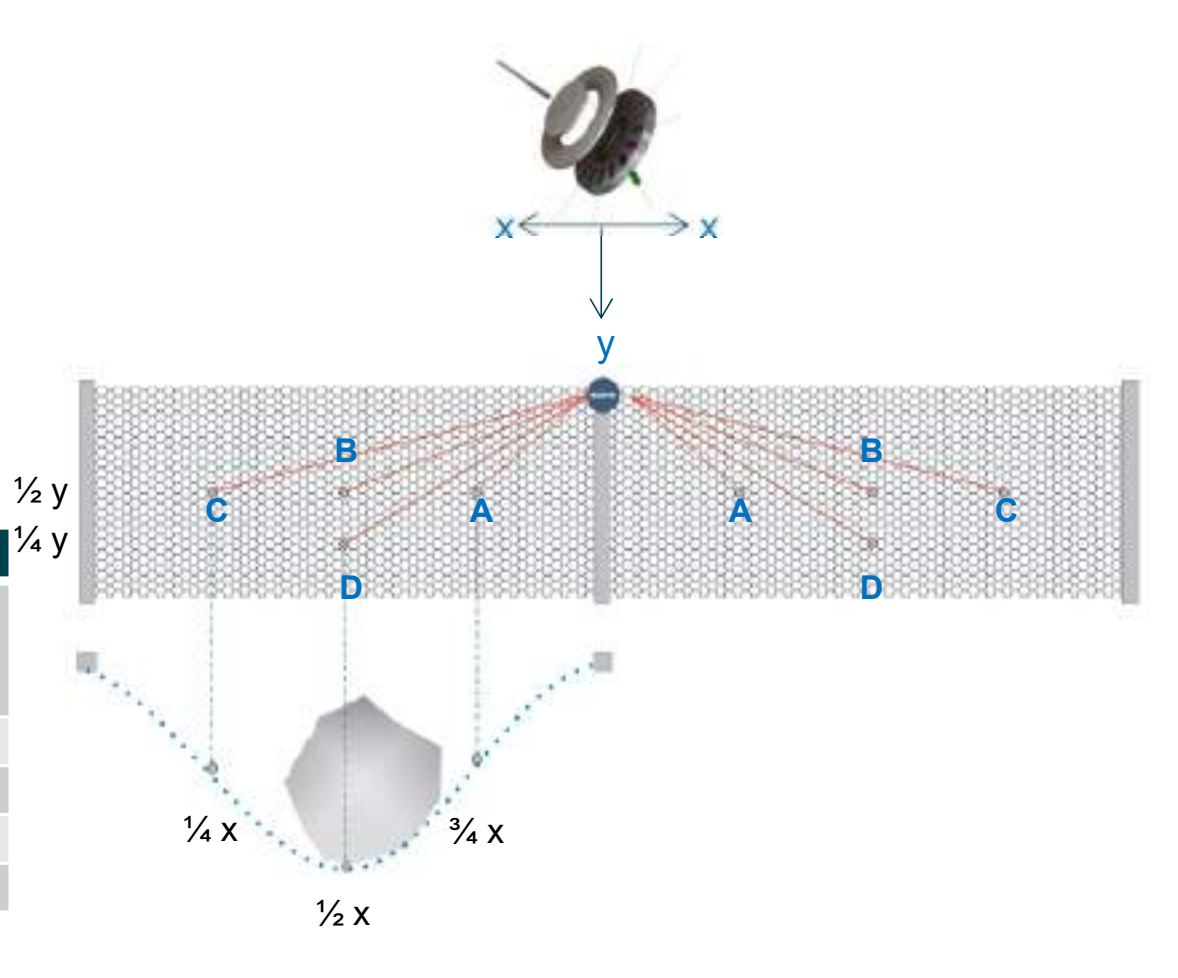


Come si installa

A secondo del modello della barriera

 Possibilità di installazione e adeguamento a barriere già esistenti

Modello: Maccaferri RB 1500 (10m x 4m)				
Posizione	Lunghezza del lasco del tirante [m]	Distanza senza lasco [m]	Lunghezza totale del tirante [m]	
Α	1.26	3.20	4.46	
В	1.93	5.38	7.31	
С	0.39	7.76	8.15	
D	0.78	5.83	6.61	













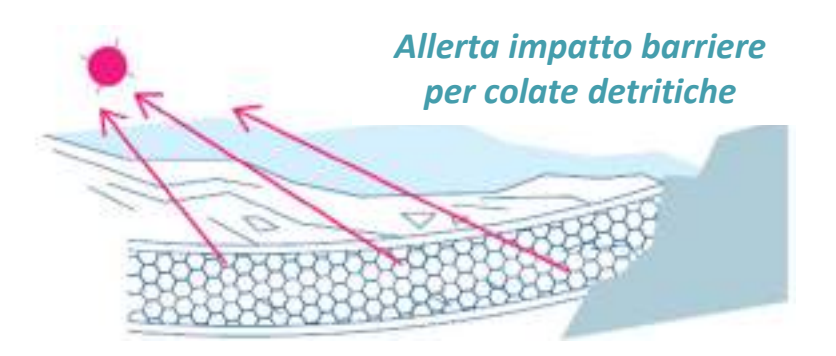
HELLOMAC APP











- Il sistema è progettato per funzionare in ambienti con impatti ad alta energia e condizioni climatiche aggressive.
- Pioggia, neve, vento e solo non creano alcun problema.
- Non sono presenti fili elettrici e/o punti deboli di possibile rottura.





MAKE YOUR ROCKFALL PROTECTION SMARTER



- HELLOMAC pesa circa 8 kg
- Può essere trasportato in luoghi remoti grazie alle sue piccole dimensioni e leggerezza
- Può essere facilmente installato sul montante della barriera anche da un operaio non specializzato



HELLOMAC ha al suo interno 8
 batterie aventi una durata minima
 stimata di 5 anni, rendendo così
 superflua ogni manutenzione
 annuale (ogni dispositivo
 comunica quotidianamente il suo
 stato e il livello della batteria)

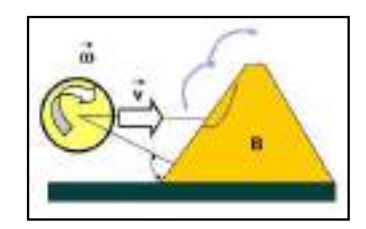


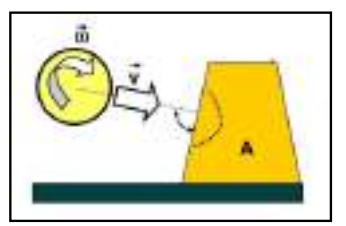
- Trasmissione giornaliera della posizione e dello stato del sistema protezione caduta massi.
- Testato contro impatti (resistente fino ad un'accelerazione di 16G).
 Funziona tra -40°C e +60°C
- È stato testato dal Politecnico di Milano specificamente su barriere paramassi Maccaferri

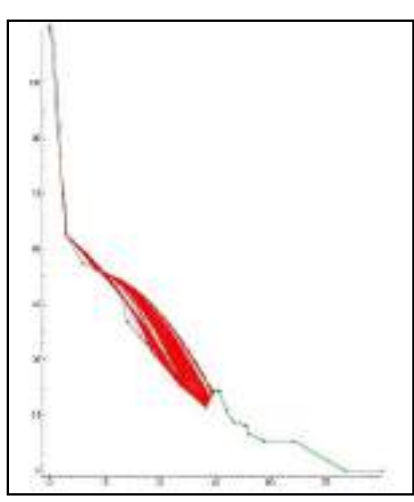




Caratteristiche	Rilevati in terra rinforzata	Barriere paramassi
Capacità di assorbimento energia	Maggiore di 10,000 kJ	Fino a 10,000 kJ nel mercato corrente
Resistenza ad impatti multipli	Si	Variabile in funzione del tipo di barriera
Deformazione verso valle a seguito dell' impatto	Trascurabile	Non trascurabile
Abilità ad intercettare blocchi ad alta velocità di impatto	Possono resistere a velocità di impatto fino a 50 m/s	Testate fino a 25 – 30 m/s
Manutenzioni richieste per impatti a bassa energia	Da trascurabili a nulle	Variabili in funzione dell'impatto, del tipo di barriera e del produttore della barriera
Topografia del pendio richiesta per l'installazione	Adatti per pendii con gradiente da medio a basso	Possono essere installate su qualsiasi tipo di pendio
Costo dell'installazione della struttura Costo conveniente per energie maggiori di circa 3000 kJ		Costo conveniente per energie non superiori a 3000 kJ
Compatibilità ambientale	Potenziale compatibilità ed inserimento nel paesaggio mediante rinverdimento del rivestimento del rilevato	La struttura risulta circa trasparente osservandola da distante





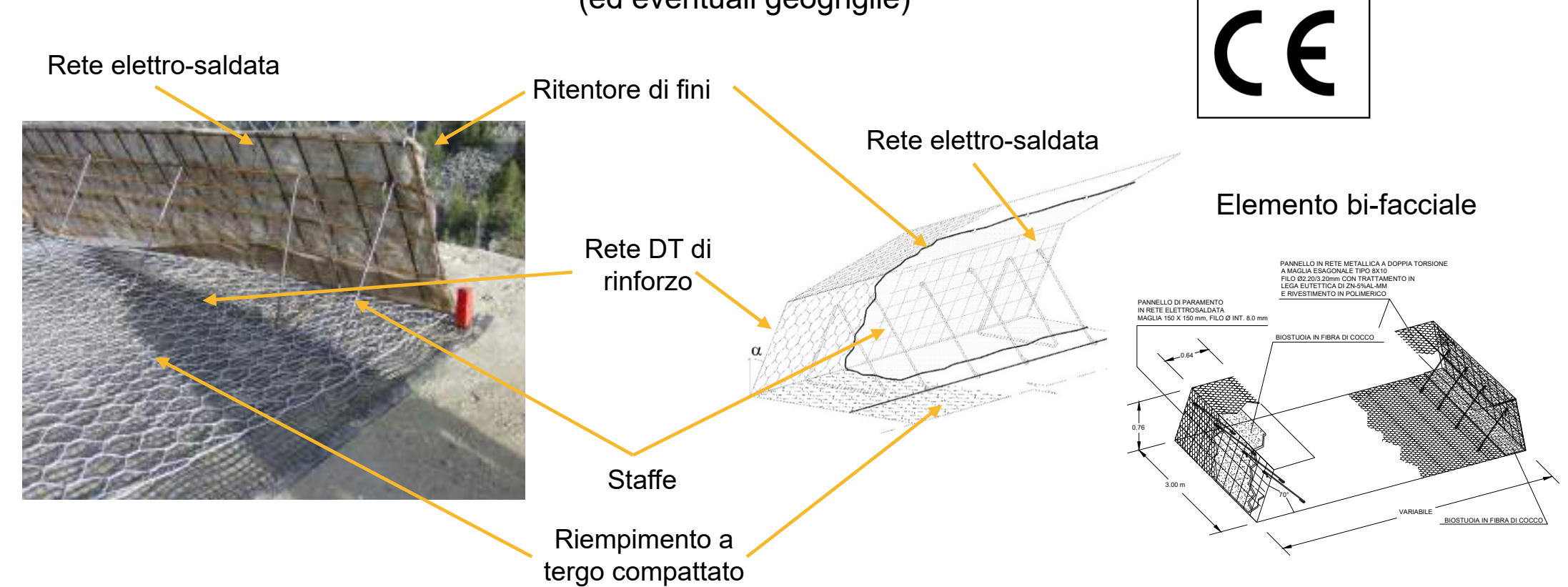


Rilevati paramassi in terra rinforzata



LA TERRA RINFORZATA MACCAFERRI: IL TERRAMESH VERDE

Il terreno rinforzato del tipo Terramesh Verde è realizzato mediante rinforzi in rete DT (ed eventuali geogriglie)



Rilevati paramassi in terra rinforzata





5 Giugno 2007

Crollo di massi di grandi dimensioni lungo la S.R. 47 di Cogne (Valle D'Aosta)

Volume dei blocchi più grandi pari a circa 30 m³



Costruzione in somma urgenza di n. 3 rilevati paramassi







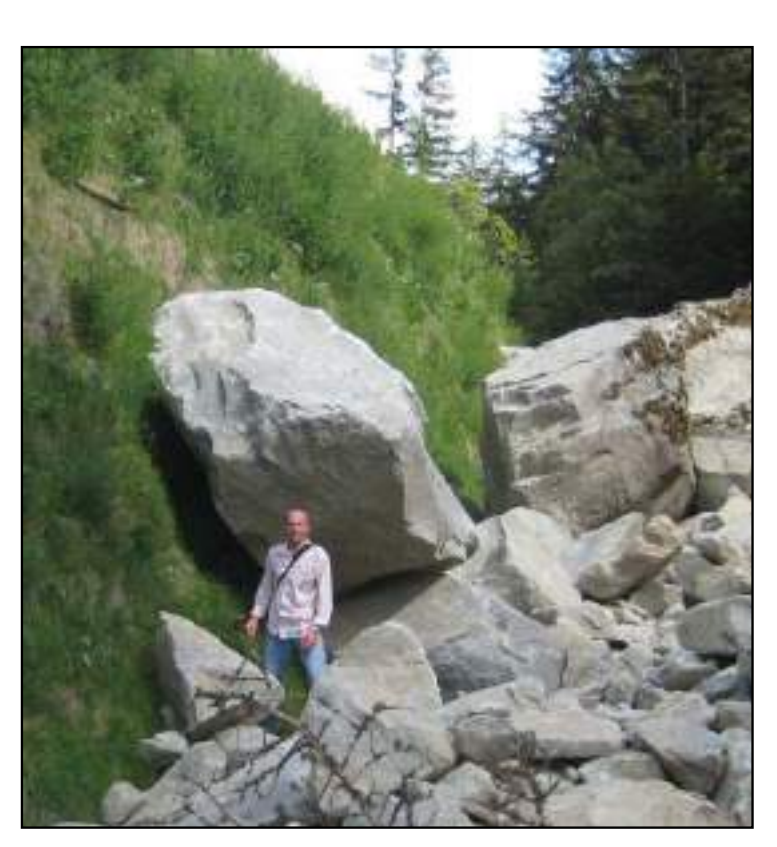
Nuova frana di Luglio 2008











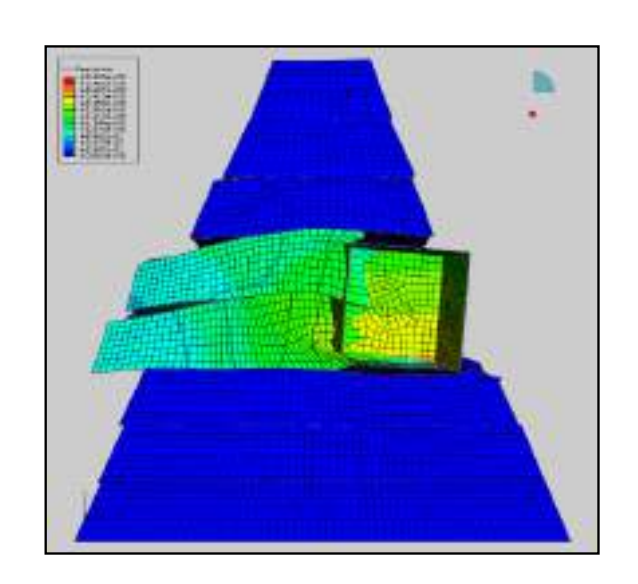
Caratteristiche del blocco

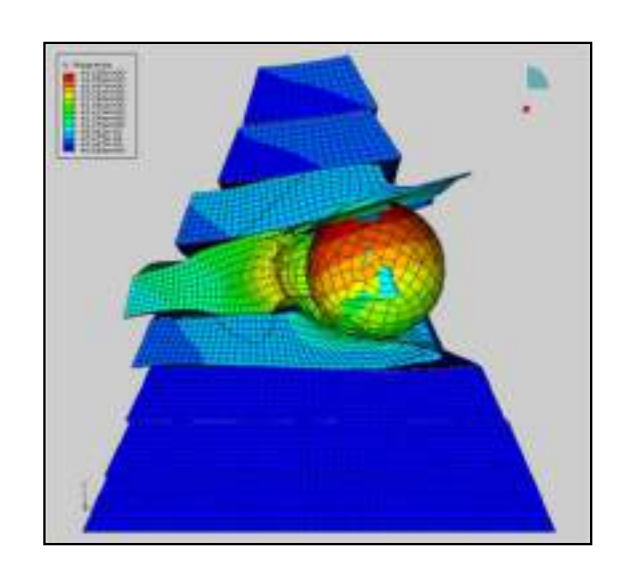
Volume = 6 m^3 Peso = 15,000 kg

Velocità stimata = 20 m/s Max penetrazione = 0,60- 0,70 m



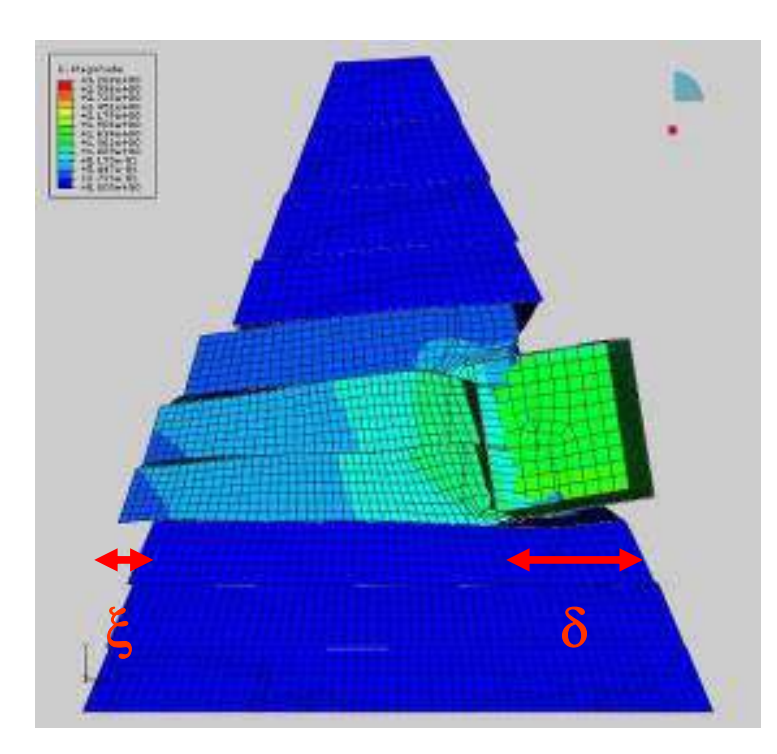
Analisi agli elementi finiti (FEM) in condizioni dinamiche in collaborazione con il Politecnico di Torino, per l'ottimizzaizone del processo progettuale dei rilevati

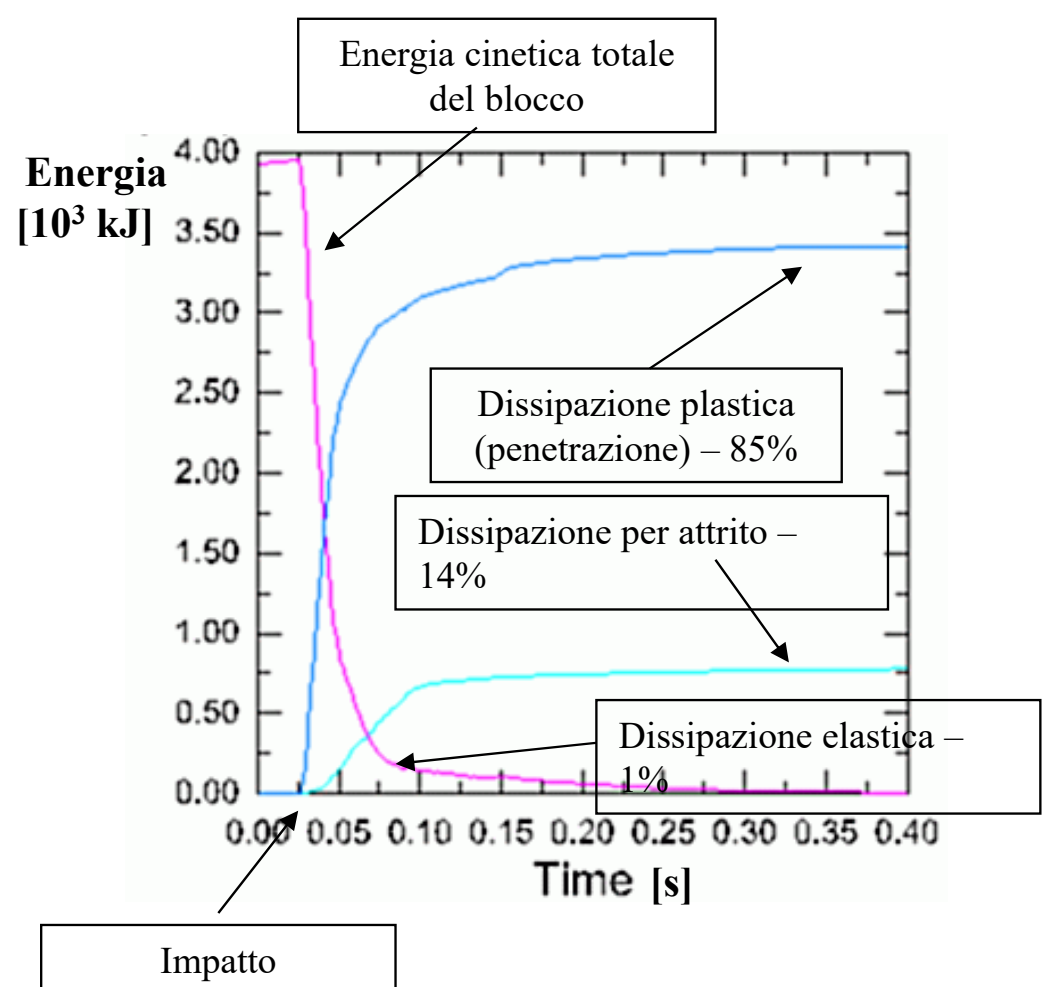




Le analisi FEM sono state validate effettuando una back analysis sull'impatto del blocco da 6 m³ sul rilevato paramassi di Cogne



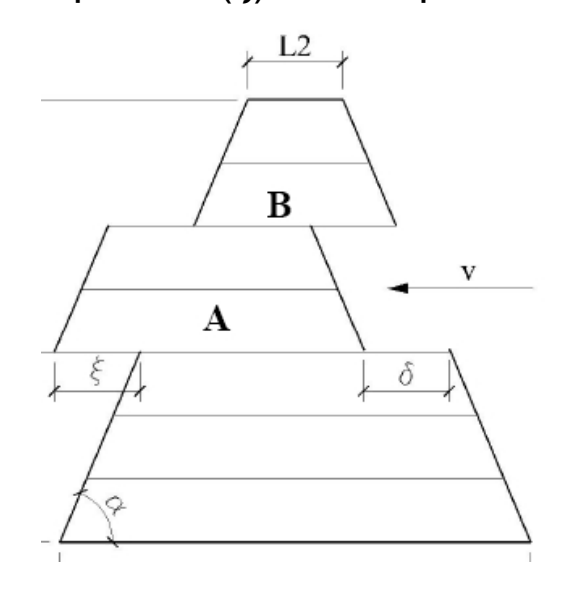






Progettazione: Analisi di resistenza all'impatto

La massima energia di impatto che il rilevato può contenere ($E_{embankmnet}$) senza collassare può essere definite, considerando lo scorrimento verso valle del layer impattato (ξ) e della penetrazione del blocco nel vallo (δ p).



 ξ = scorrimento verso valle del layer impattato

 δ_p = penetrazione del blocco nel vallo

$$\delta = \delta_p + \xi$$

La stabilità si ha se: il blocco A e il blocco B rimangono in equilibrio

La valutazione dei 2 parametri può essere elaborata con metodi analitici o numerici.



Valutazione della deformazione massima

Una volta definita la deformazione massima è possibile effettuare una analisi allo Stato Limite Ultimo (SLU) e allo Stato Limite di Esercizio (SLE).

SLU

Si determina valutando la stabilità statica della struttura (dopo impatto) dopo essersi deformata: condizione di equilibrio limite

SLE

Condizione che permette la manutenzione dell'opera.

I valori suggeriti sono:

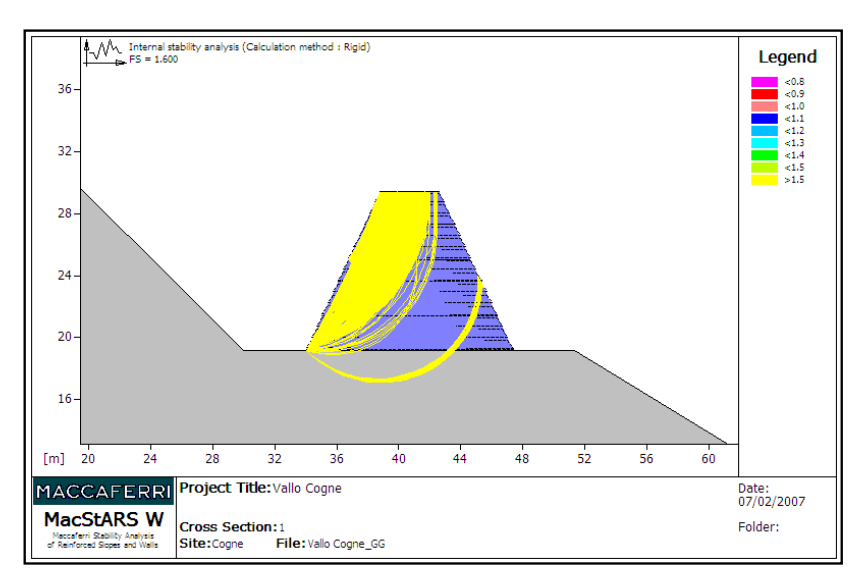
- La deformazione sul lato di monte deve essere < al 20% dello spessore del rilevato nel punto di impatto e comunque < 0.5-0.7 m. Una maggiore deformazione impedisce un facile mantenimento e riparazione della struttura.
- La deformazione verso valle deve essere < 0.3-0.4 m.



Progettazione: Analisi di stabilità

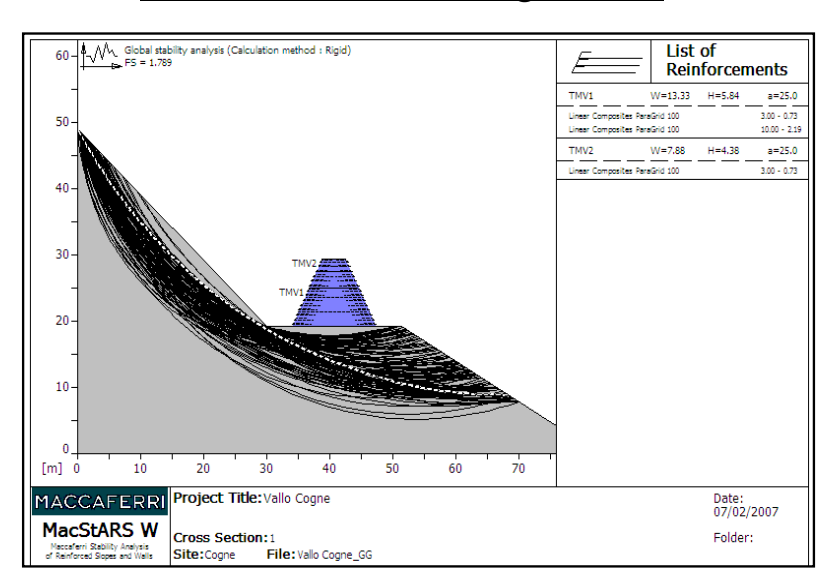
Software Mac.Sta.R.S. W → Metodo all'equilibrio limite

Analisi di stabilità interna



Analisi delle possibili superfici di scorrimento che interessano la sola opera di sostegno

Analisi di stabilità globale



Analisi delle sulle possibili superfici di scorrimento che interessano l'opera nel suo complesso





Uno dei rilevati paramassi di Cogne dal 2007 al 2011 è stato impattato da piccole valanghe, colate detritiche e da massi





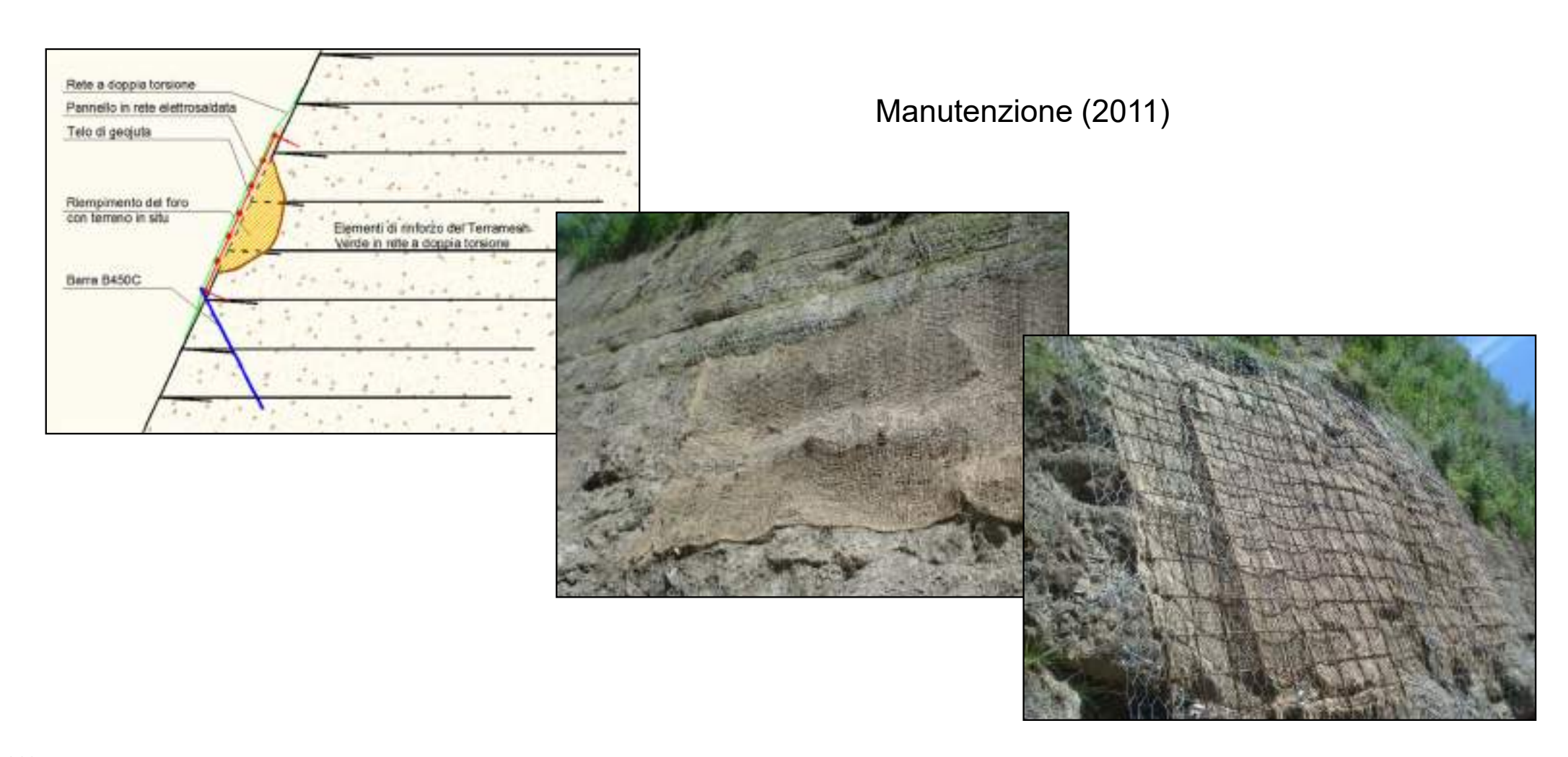


Manutenzione (2011)













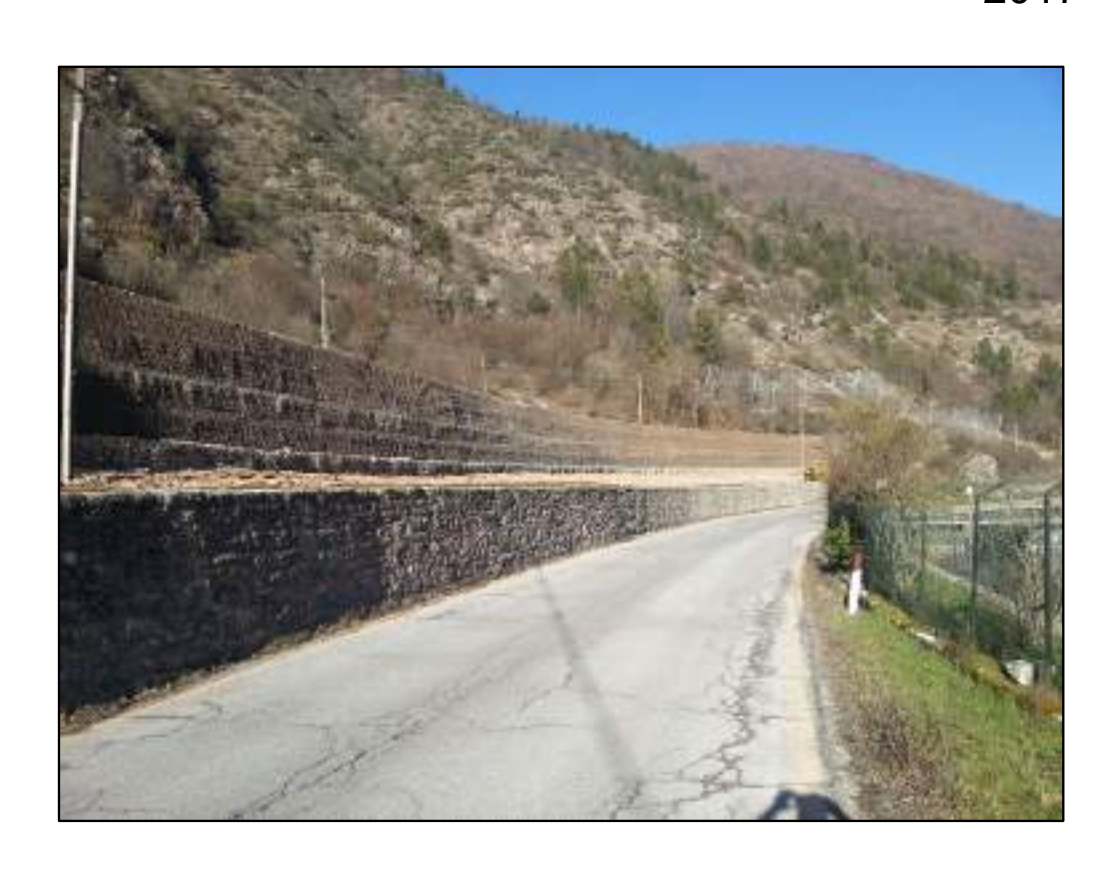








S.P. 135 Visso - Ussita (MC) 2017 - 2018







GRAZIE PER L'ATTENZIONE

Stefano Cardinali
Tel. +39 331 6235189
s.cardinali@it.maccaferri.com

